

# Sistemas de Propulsión

Grado en Ingeniería Aeroespacial en Vehículos Aeroespaciales  
Escuela Técnica Superior de Ingenieros de Telecomunicaciones



# Análisis termodinámico del ciclo de operación

Jorge Saavedra

Grado en Ingeniería Aeroespacial en Vehículos Aeroespaciales  
Escuela Técnica Superior de Ingenieros de Telecomunicaciones



# Contenidos

1. Proceso de diseño
2. Ciclo Joule y ciclo de detonación
3. Ciclo Joule ideal
4. Ciclo Joule real
5. Ciclo de detonación ideal
6. Ciclo de detonación real
7. Mejoras al ciclo Joule o al ciclo de detonación



# Contenidos

1. Proceso de diseño
2. Ciclo Joule y ciclo de detonación
3. Ciclo Joule ideal
4. Ciclo Joule real
5. Ciclo de detonación ideal
6. Ciclo de detonación real
7. Mejoras al ciclo Joule o al ciclo de detonación



Es fundamental conocer pronto la apariencia y peso que tendrá el motor (fabricación, seguridad, mantenimiento).

Evaluaciones exactas son imposibles, pero es necesario disponer de un conjunto de tendencias que si lo sean

Basándose en la tecnología actual se deberán establecer el ciclo termodinámico, características de los componentes, etc

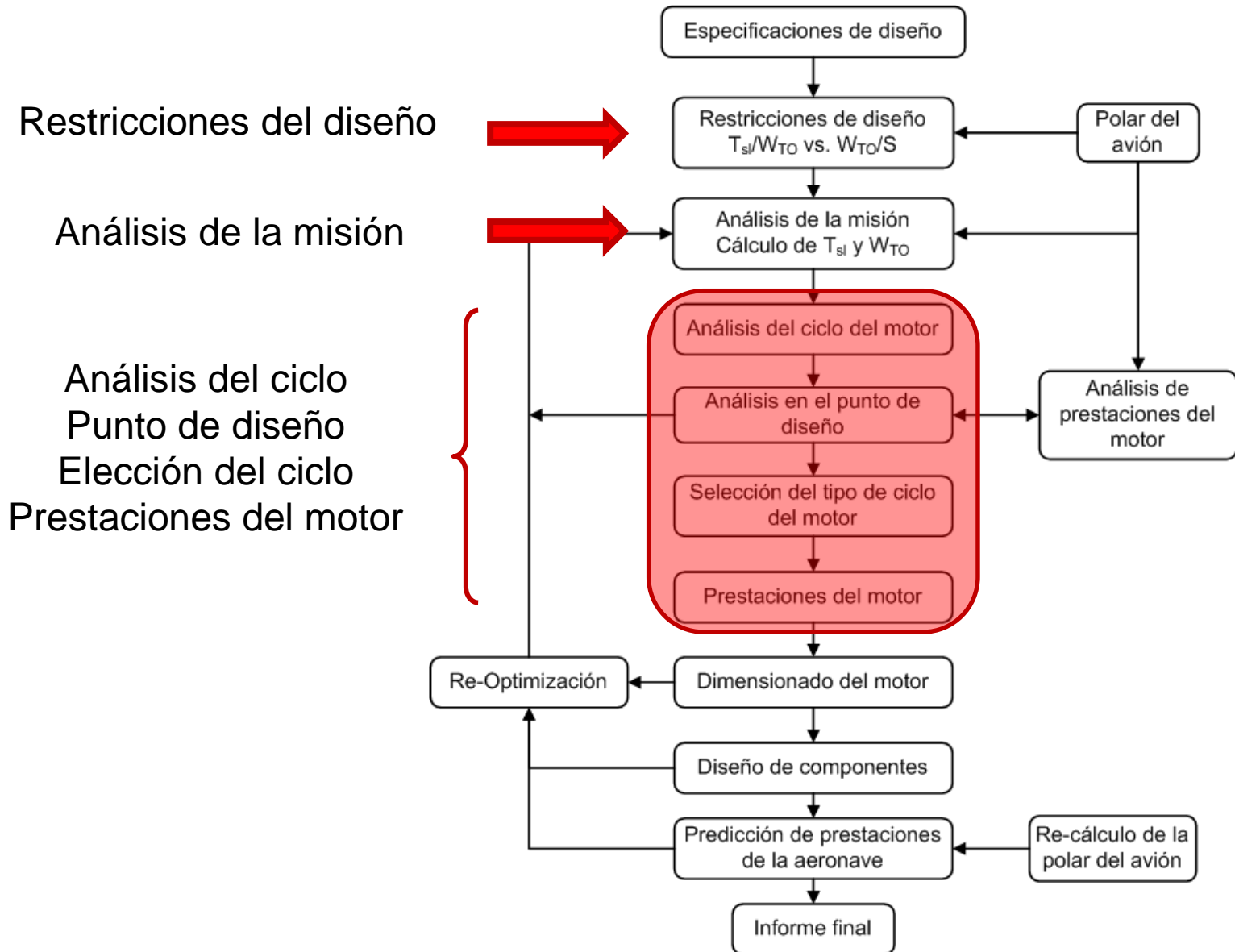
Un motor competitivo requiere elevada eficiencia, gran empuje y bajo consumo.  
Todas estas magnitudes están ligadas al *análisis del ciclo*

El objetivo del análisis del ciclo es obtener una primera estimación de los parámetros de prestaciones del motor, tales como el empuje, o el consumo específico, a partir de consideraciones relacionadas con:

- Limitaciones de diseño (ej. temperatura máxima permitida en la turbina)

- Condiciones de vuelo ( $p_{amb}$ ,  $T_{amb}$ , Mach, misión, restricciones)

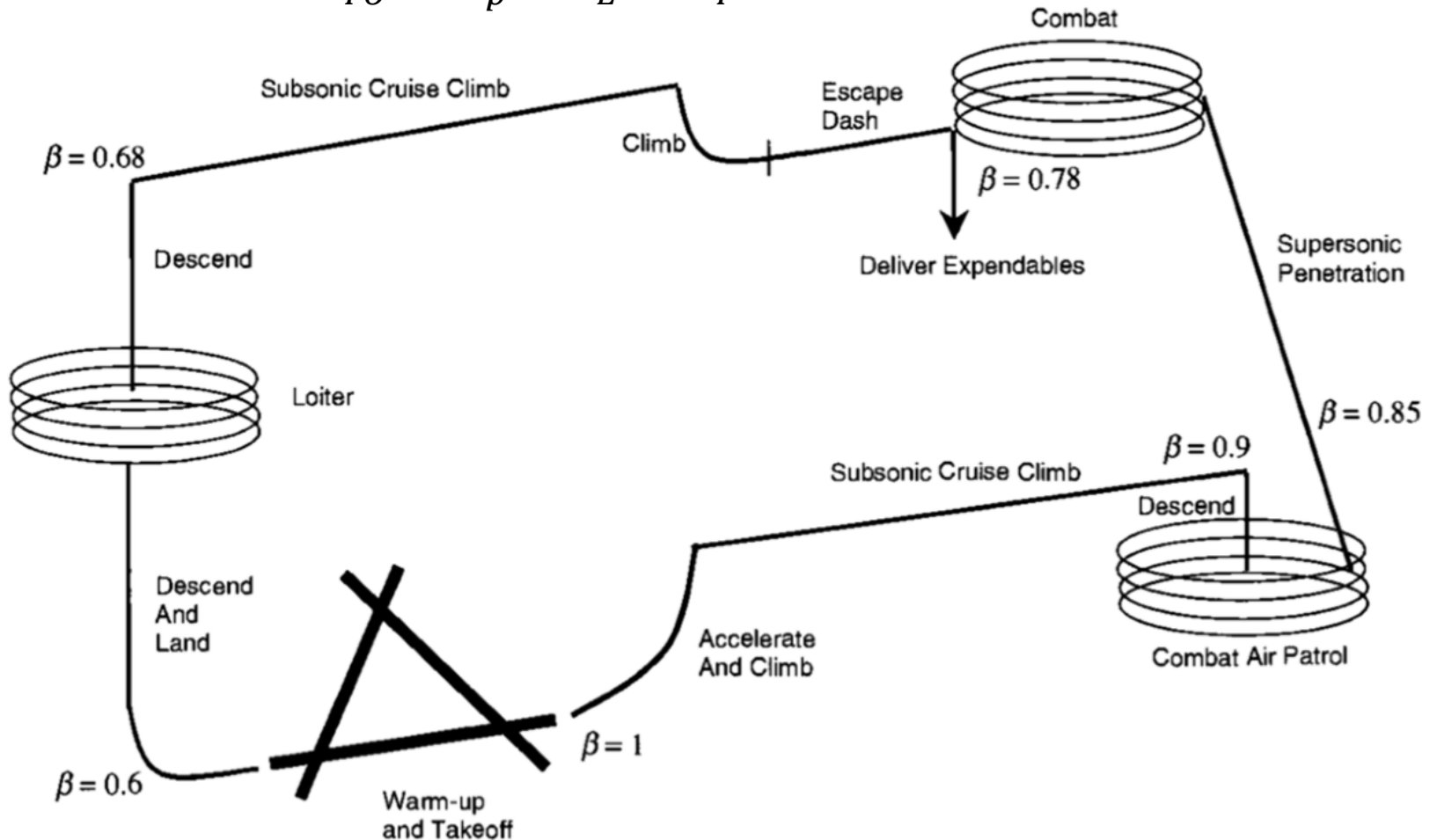
- Elecciones de diseño (relación de compresión( $\pi_c$ ), BPR,  $T_4$ ,  $V_9$ )



# Tipo de misión, caza

Estimación del peso bruto durante el despegue  $W_{TO} \rightarrow T_{SL}, S$

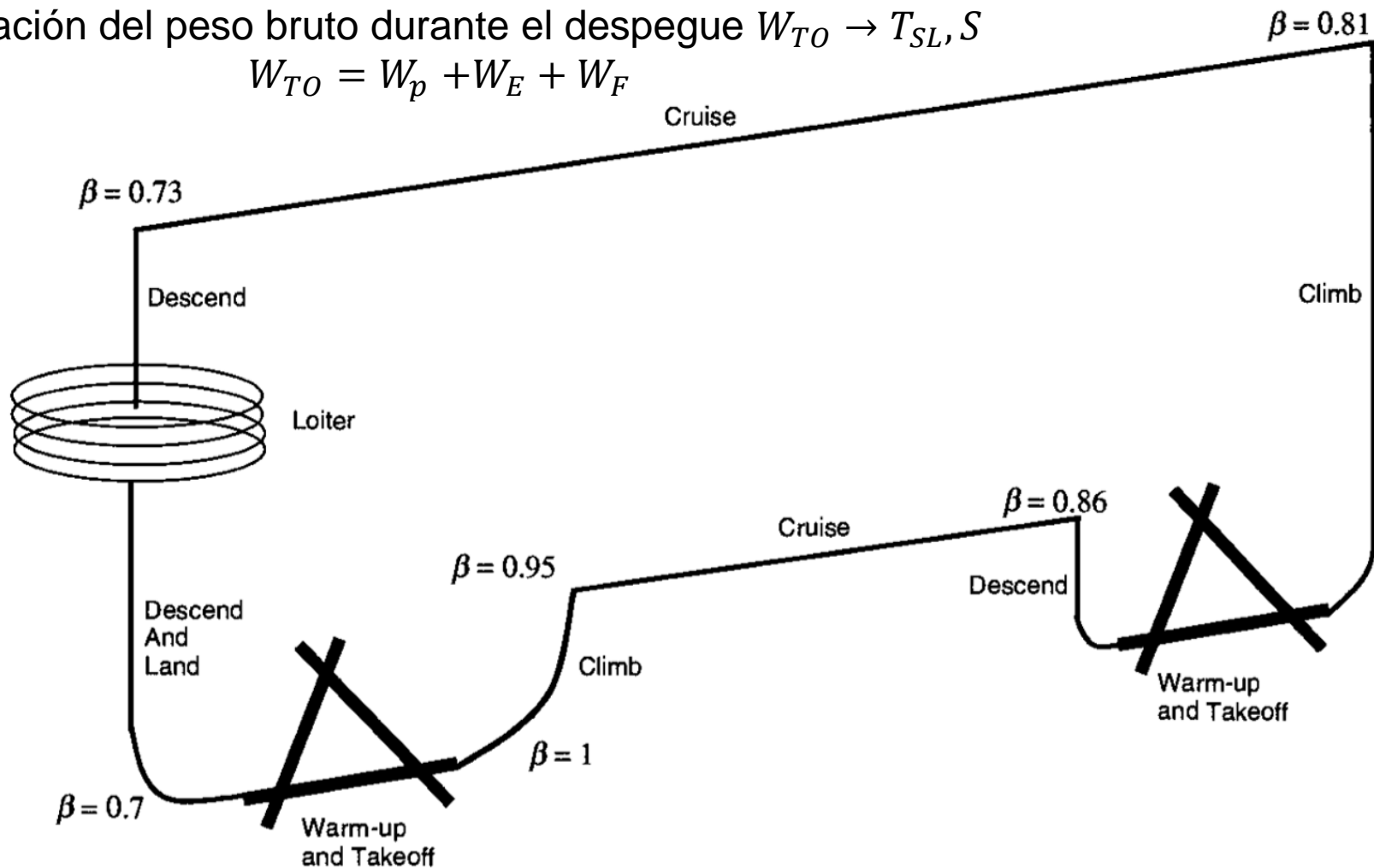
$$W_{TO} = W_p + W_E + W_F$$



# Tipo de misión, avión comercial

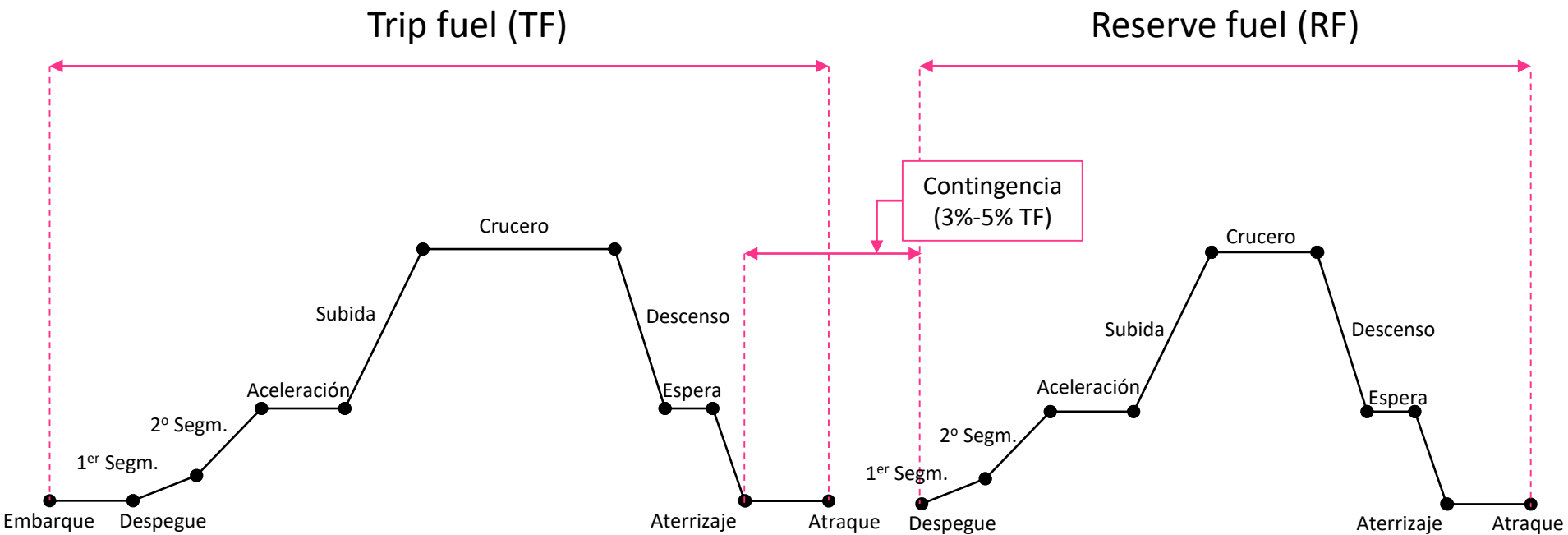
Estimación del peso bruto durante el despegue  $W_{TO} \rightarrow T_{SL}, S$

$$W_{TO} = W_p + W_E + W_F$$





# Tipo de misión, avión comercial



## Análisis de restricciones

Valor mínimo de Empuje/Peso en función de carga alar ( $W_{TO}/S$ )

Distancia recorrida en despegue

Techo operativo

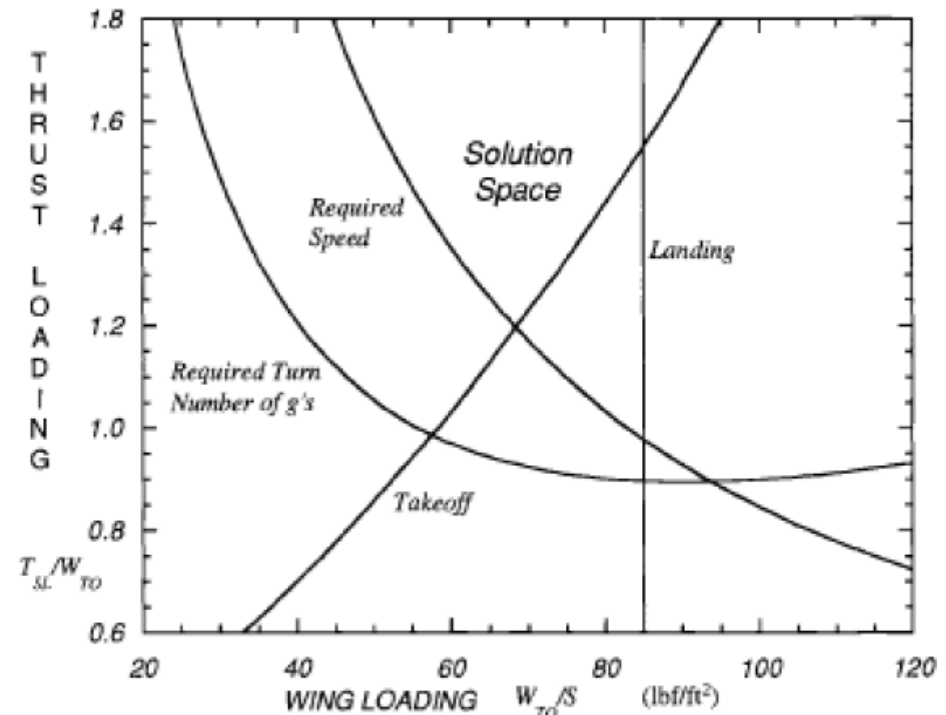
Velocidad máxima

Maniobrabilidad

Consumo específico TSFC

Aterrizaje (Reversa), VSTOL

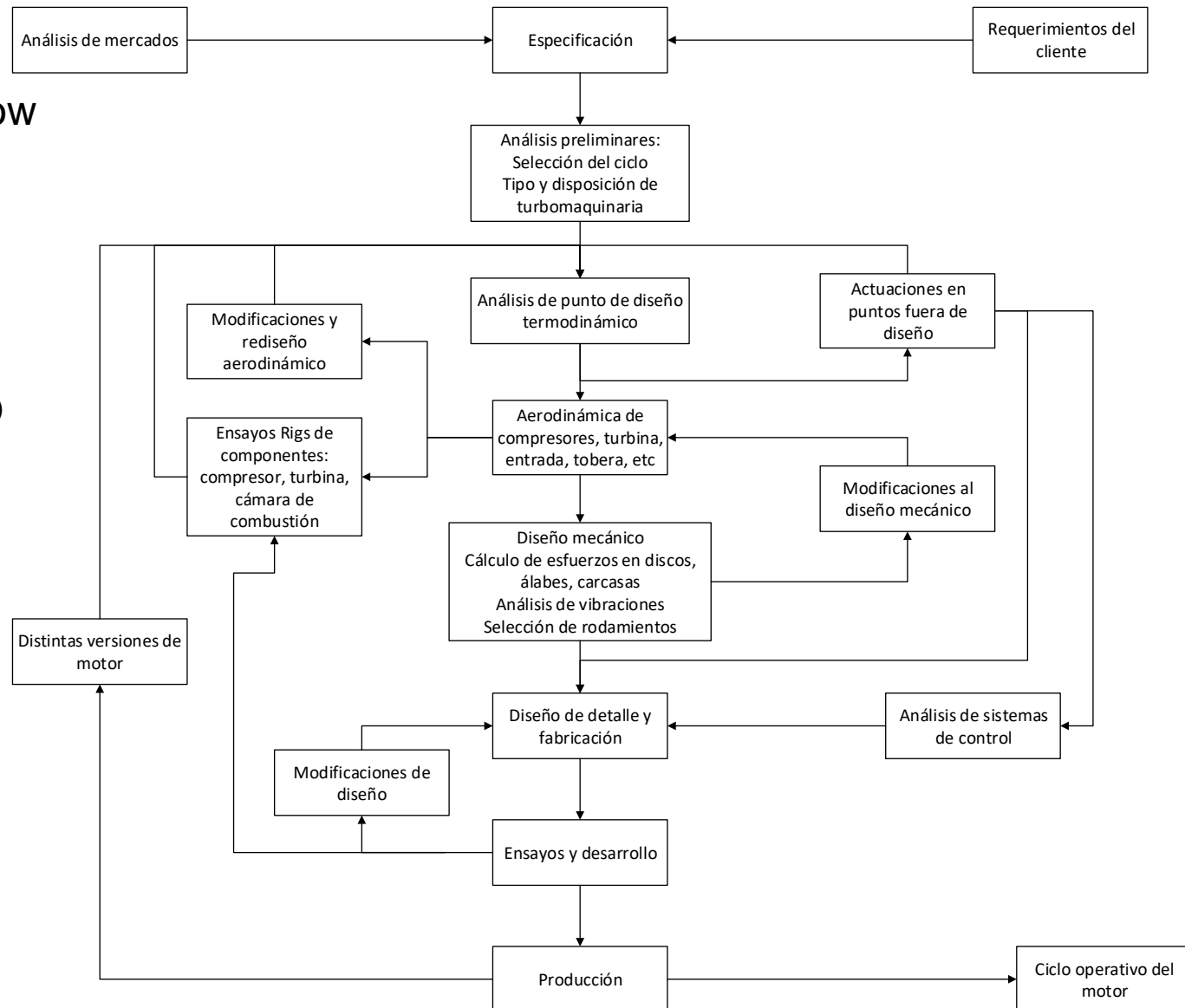
El análisis de restricciones/requisitos determina la tipología de motorización necesaria



## Carencia de criterio único para afrontar el diseño del motor

Experiencia know-how  
Previos diseños  
Diseños evolutivos

## Proceso ITERATIVO



# 1. Proceso de diseño

## Pasos principales

### **Especificación de la misión**

Definición de: rango, techo operativo, velocidad máxima, potencia máxima requerida para el despegue (MTOW)

### **Análisis preliminar del ciclo**

Definición del tipo de moto-propulsor

Definición de la variante del sistema propulsivo

Análisis punto de diseño

### **Definición específica de componentes**

Establecer los componentes del sistema propulsivo

Actuaciones fuera de punto de diseño

### **Diseño aerodinámico**

Admisión de aire, compresor, turbina, tobera

### **Diseño aerotermodinámico**

Cámara de combustión, refrigeración, intercambiadores de calor

### **Diseño estructural**

Caja de cambios, diseño estructural de componentes aerodinámicos

### **Diseño de detalle y fabricación** (planos y procesos de producción)

### **Ensayo y desarrollo** (aseveración y mejoras)

### **Ensayo y desarrollo** (Producción)

Reciclar o  
evolucionar  
diseños  
previos

# Contenidos

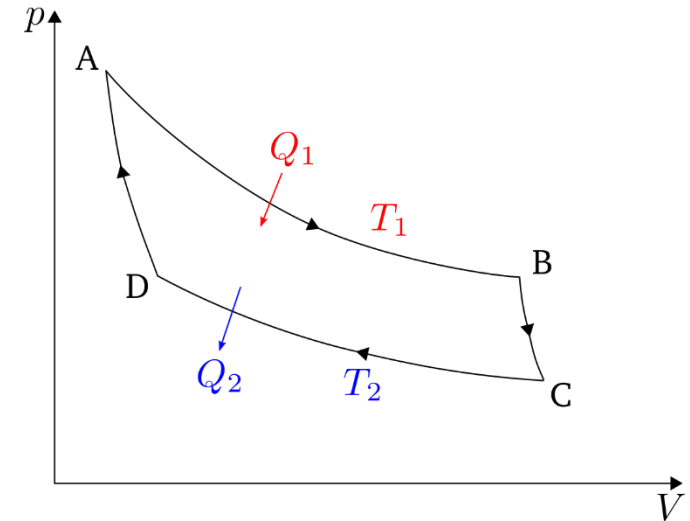
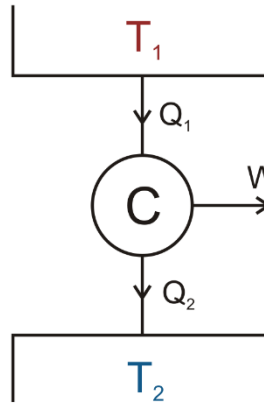
1. Diseño preliminar
2. Ciclo Joule y ciclo de detonación
3. Ciclo Joule ideal
4. Ciclo Joule real
5. Ciclo de detonación ideal
6. Ciclo de detonación real
7. Mejoras al ciclo Joule o al ciclo de detonación



## 2. Ciclo Joule y ciclo de detonación

### Ciclo de Carnot

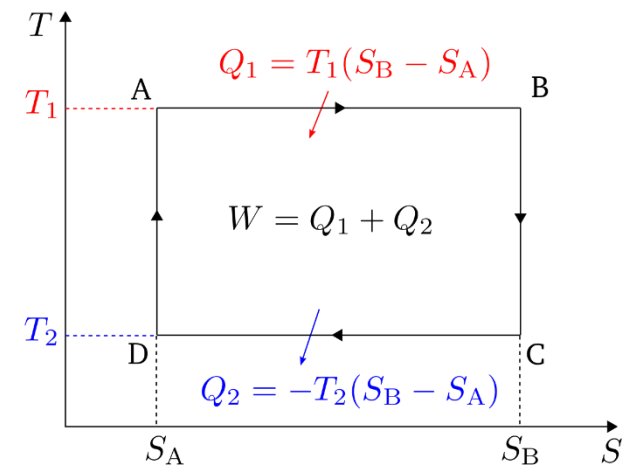
A-B Expansión isoterma  
 B-C Expansión adiabática  
 C-D Compresión isoterma  
 D-A Compresión adiabática



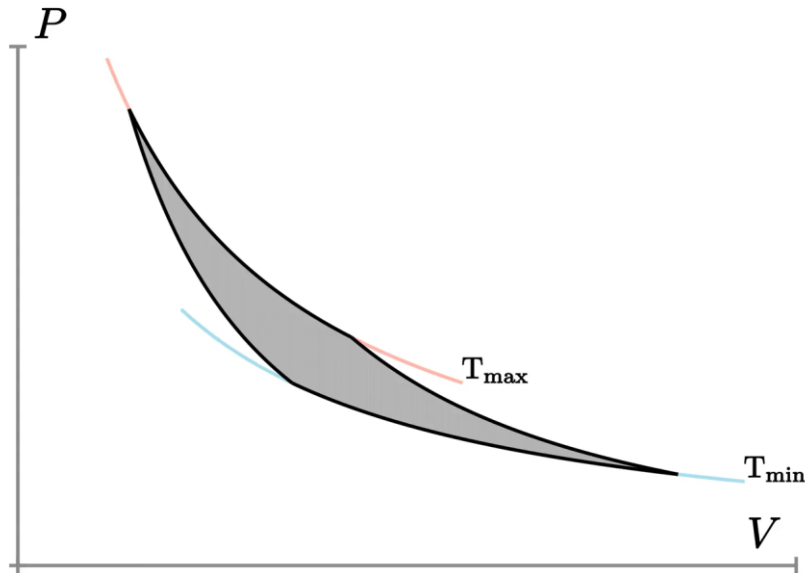
$$W = \int \delta Q = \int_1^2 T_1 dS + \int_3^4 T_2 dS = (T_1 - T_2)(S_B - S_A)$$

El ciclo de Carnot establece el mayor rendimiento alcanzable por una máquina térmica trabajando entre dos condiciones térmicas

$$\eta = 1 - \frac{T_2}{T_1}$$



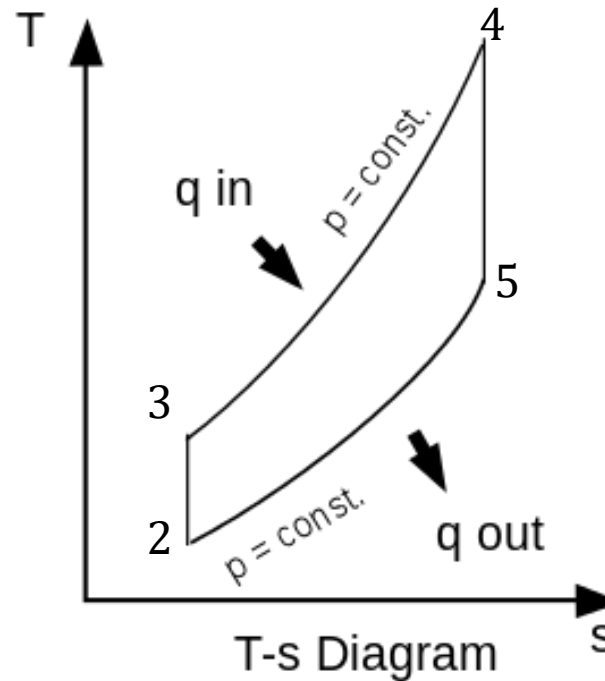
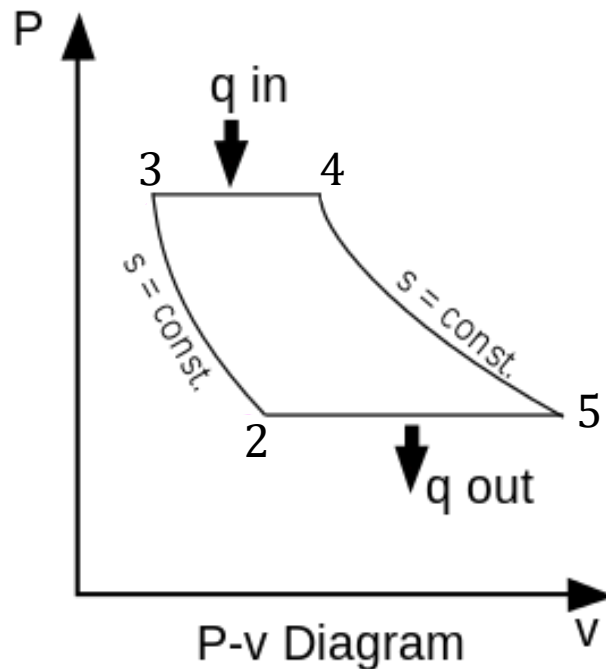
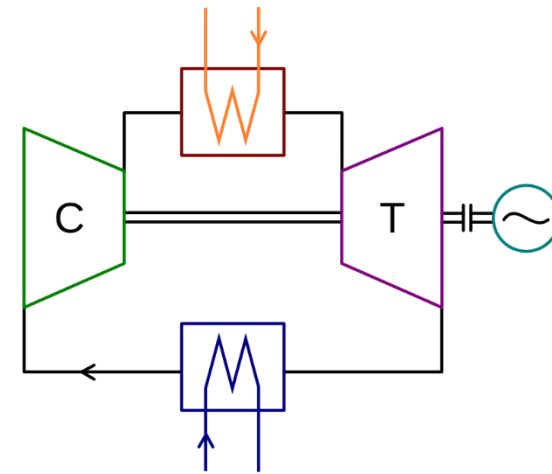
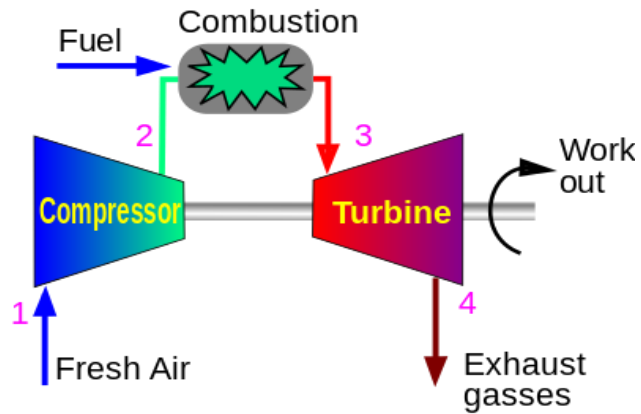
## Ciclo de Carnot



El ciclo de Carnot establece el mayor rendimiento alcanzable por una máquina térmica trabajando entre dos condiciones térmicas

$$\eta = 1 - \frac{T_2}{T_1}$$

### Ciclo Joule // Ciclo Brayton

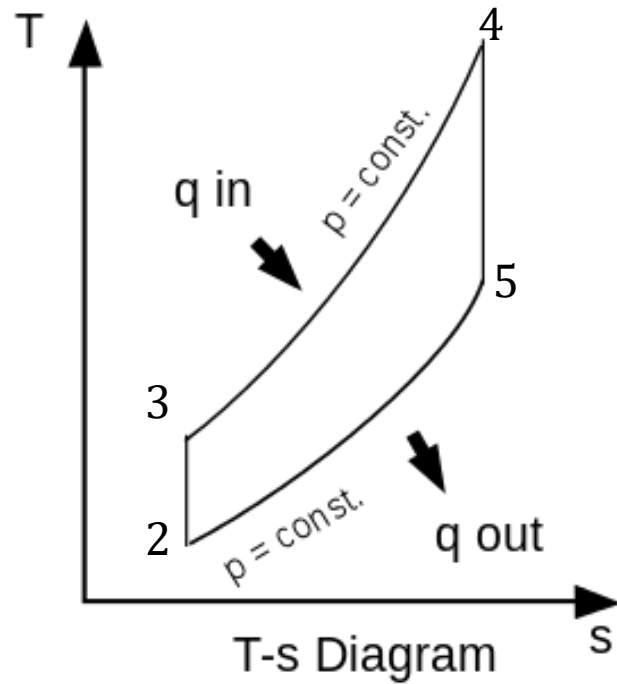


$$h = c_p T$$

$$\Delta h_{12} < \Delta h_{34}$$



### Ciclo Joule // Ciclo Brayton



2-3

$$p_3 = \pi_{23} p_2$$

$$s_3 = s_2 \Rightarrow$$

$$\frac{T_3}{T_2} = \left( \frac{p_3}{p_2} \right)^{\frac{\gamma-1}{\gamma}} = \pi_{23}^{\frac{\gamma-1}{\gamma}}$$

3-4

$$p_4 = p_3$$

$$h_4 = h_3 + \eta_q f L \Rightarrow$$

$$T_4 = T_3 + \eta_q f L / C_p$$

$(f = \dot{m}_f / \dot{m}_a)$

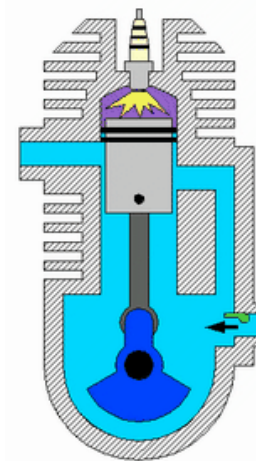
4-5

$$p_5 = p_2$$

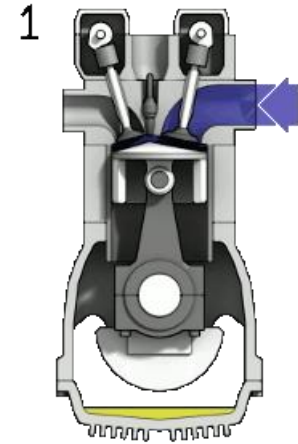
$$s_5 = s_4 \Rightarrow$$

$$\frac{T_5}{T_4} = 1 / \pi_{23}^{\frac{\gamma-1}{\gamma}}$$

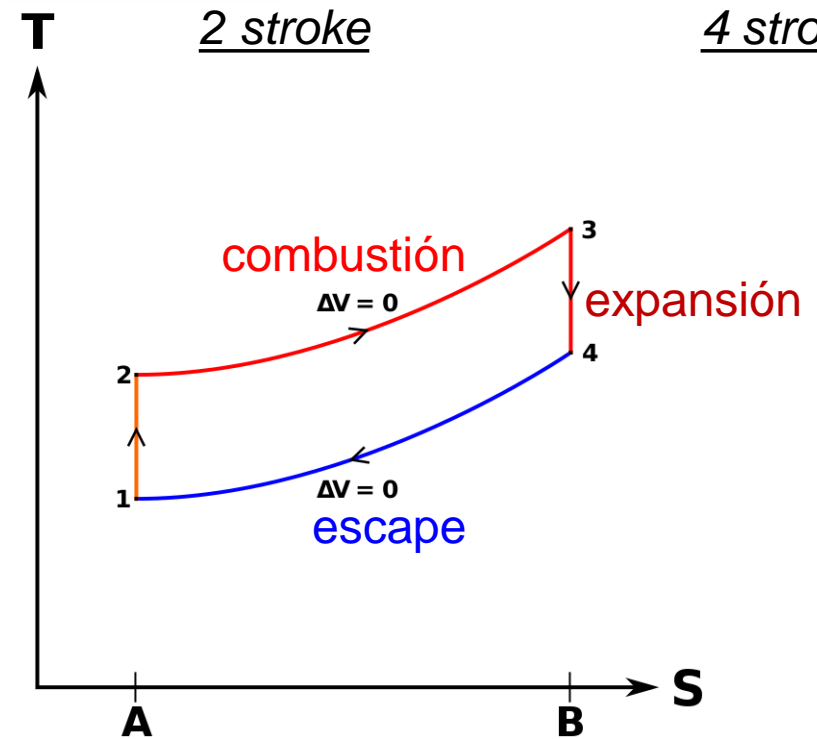
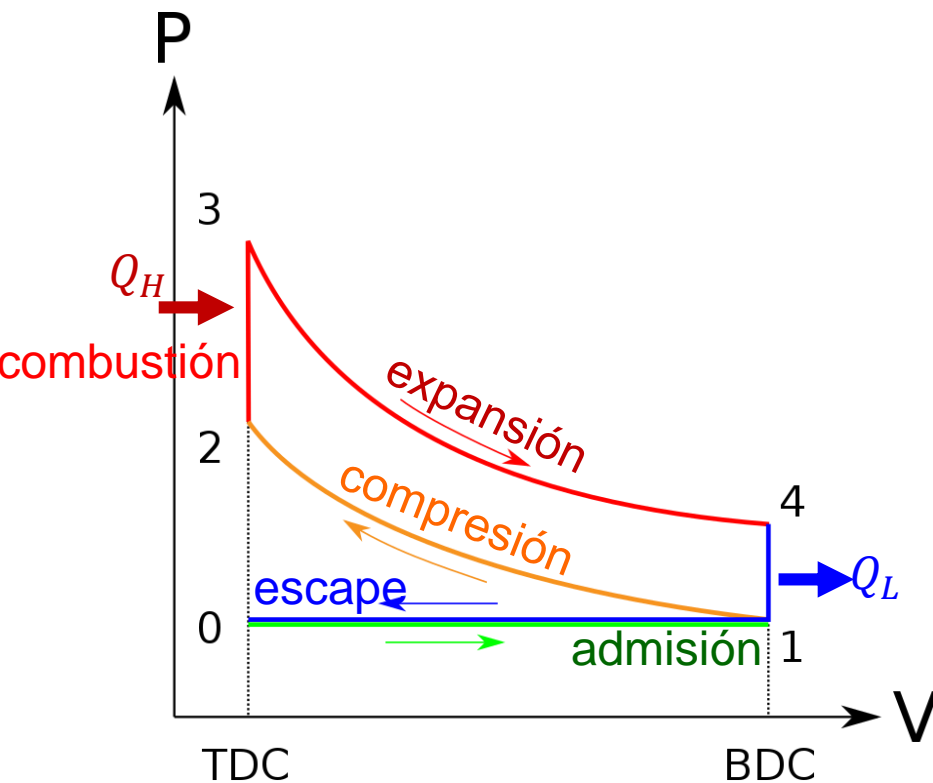
### Ciclo de detonación // Ciclo Otto



2 stroke



4 stroke



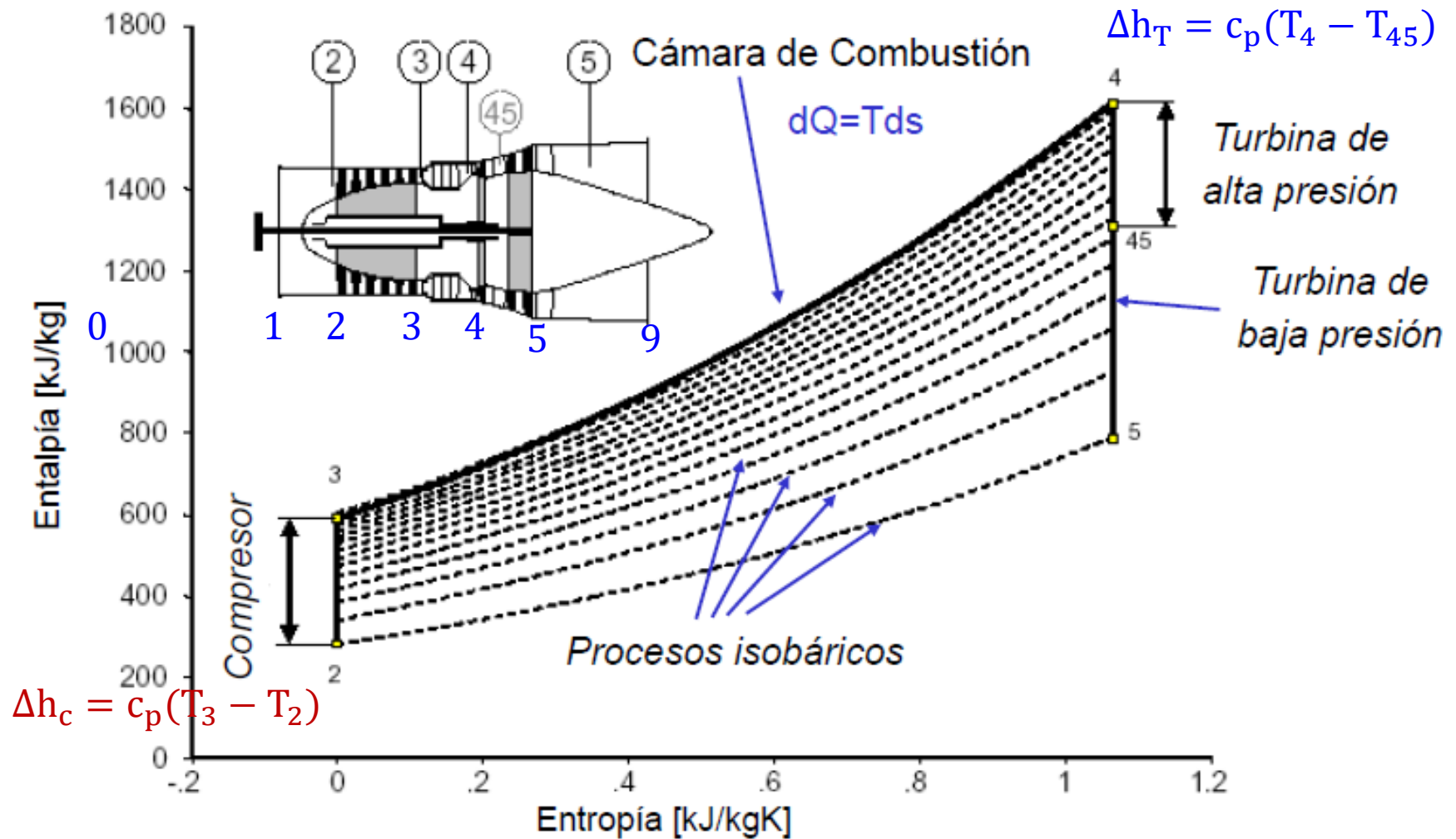
# Contenidos

1. Diseño preliminar
2. Ciclo Joule y ciclo de detonación
3. Ciclo Joule ideal
4. Ciclo Joule real
5. Ciclo de detonación ideal
6. Ciclo de detonación real
7. Mejoras al ciclo Joule o al ciclo de detonación



### 3. Ciclo Joule ideal

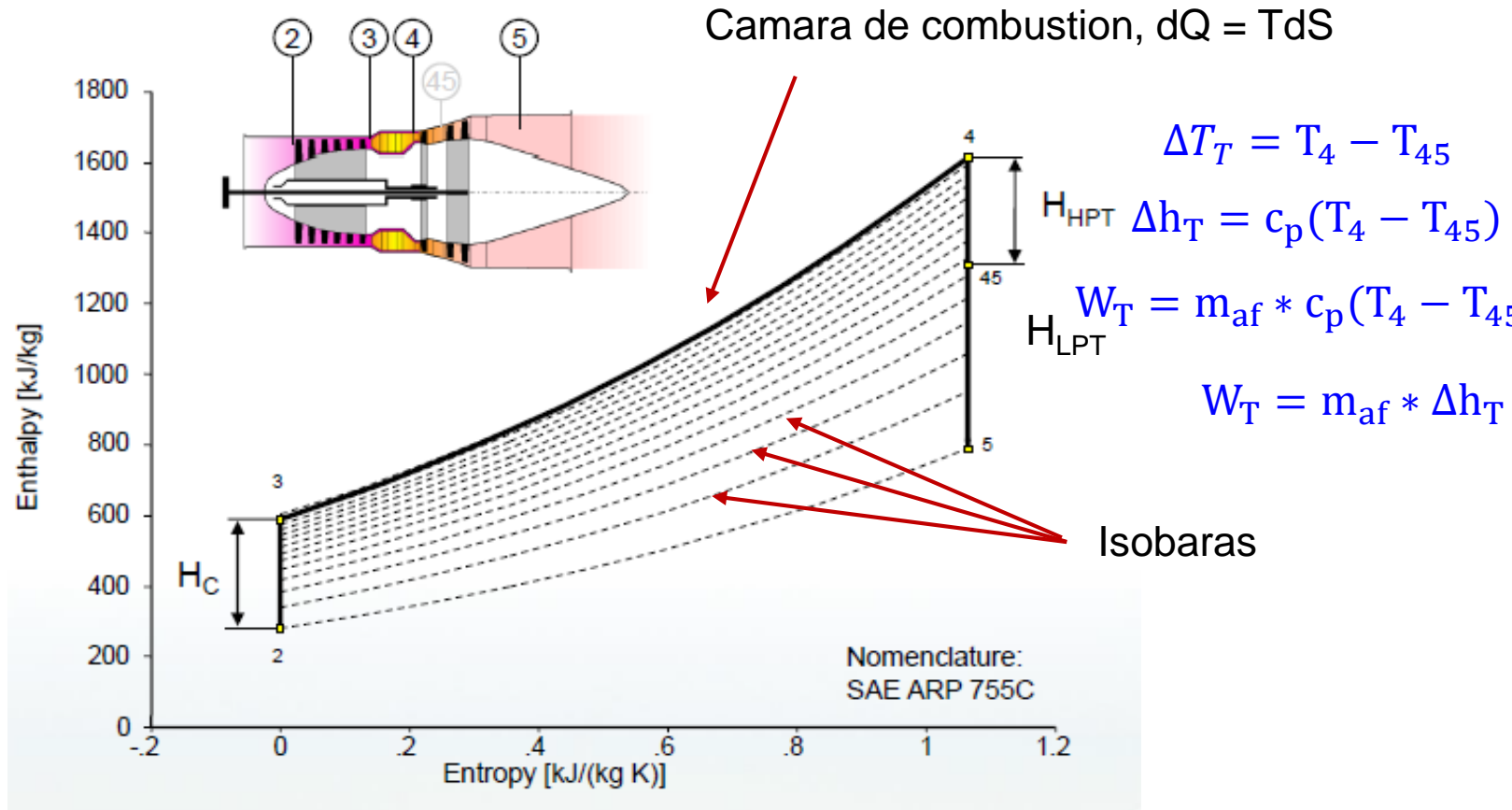
#### Ciclo termodinámico de un turboshaft



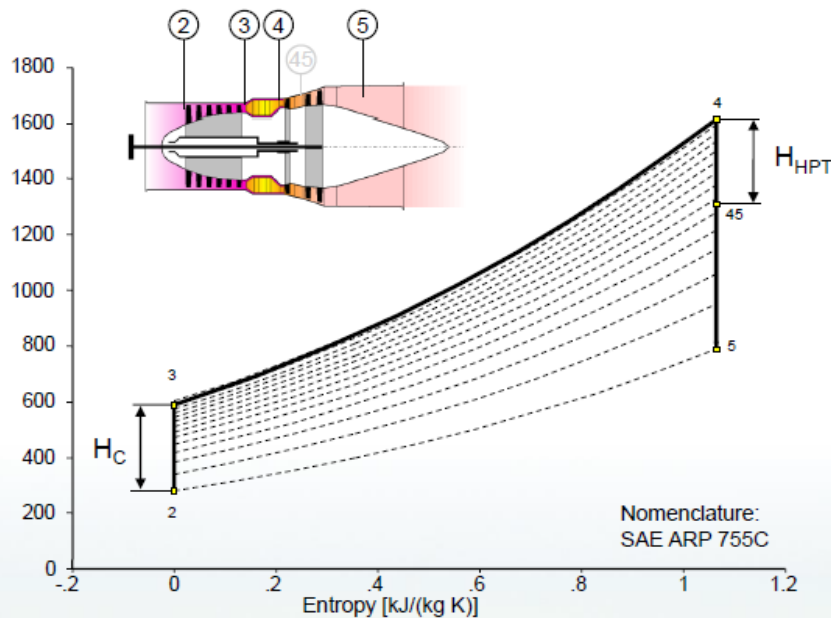
### 3. Ciclo Joule ideal

#### Ciclo termodinámico de un turboshaft

$T_0$



## Hipótesis para el calculo del ciclo ideal



- Gas perfecto
- Compresión isentrópica
- Expansión isentrópica
- No hay refrigeración ni perdidas de transmisión
- Propiedades del fluido constante
- Gasto masico constante
- El proceso de adición de calor es instantáneo e ideal
- Tobera adaptada
- Operación estacionaria

#### **Hipótesis para el calculo del ciclo ideal**

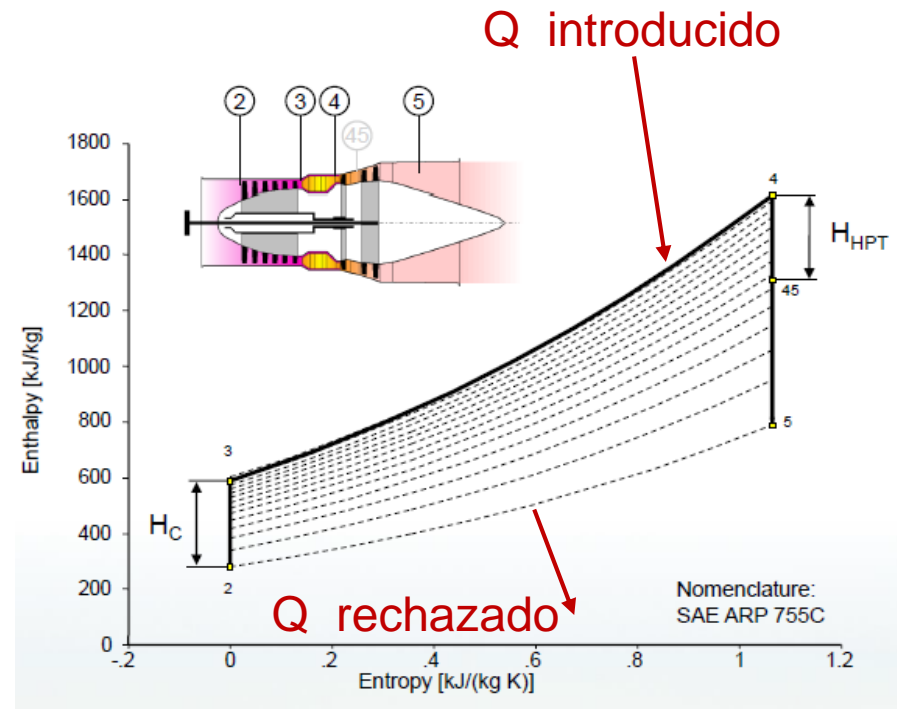
1. El fluido de trabajo es un gas perfecto.
2. La compresión en el compresor es isentrópica.
3. La expansión en la turbina es isentrópica.
4. No se consideran pérdidas por refrigeración, pérdidas de presión o fenómenos de fricción.
5. No hay cambios en las propiedades físicas o químicas en el fluido de trabajo.
6. No hay diferencia en el flujo másico a lo largo del ciclo.
7. El calor añadido al fluido de trabajo es transferido a él de manera instantánea y completa.
8. La expansión en la tobera es completa.
9. Flujo estacionario y cero-dimensional

## Hipótesis para el calculo del ciclo ideal

La divergencia de las isobaras permite la extracción de más trabajo que el empleado en la compresión

$$\Delta h_T = c_p(T_4 - T_5)$$

$$\Delta h_c = c_p(T_3 - T_2)$$





### 3. Ciclo Joule ideal

$$\Delta h_T = c_p(T_4 - T_{45}) = \Delta h_c = c_p(T_3 - T_2)$$

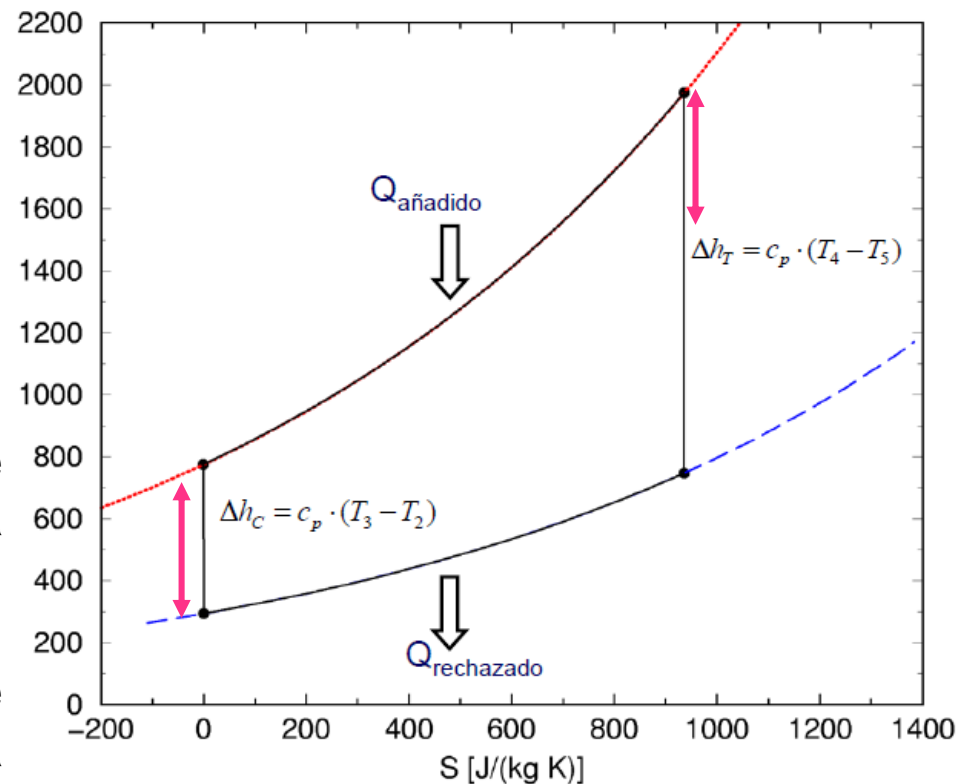
$$(T_4 - T_{45}) = (T_3 - T_2)$$

$$\eta_{th} = \frac{Q_{added} - Q_{rejected}}{Q_{added}}$$

$$\eta_{th} = \frac{Q_{excess}}{Q_{added}} = \frac{\Delta h_t - \Delta h_c}{Q_{added}}$$

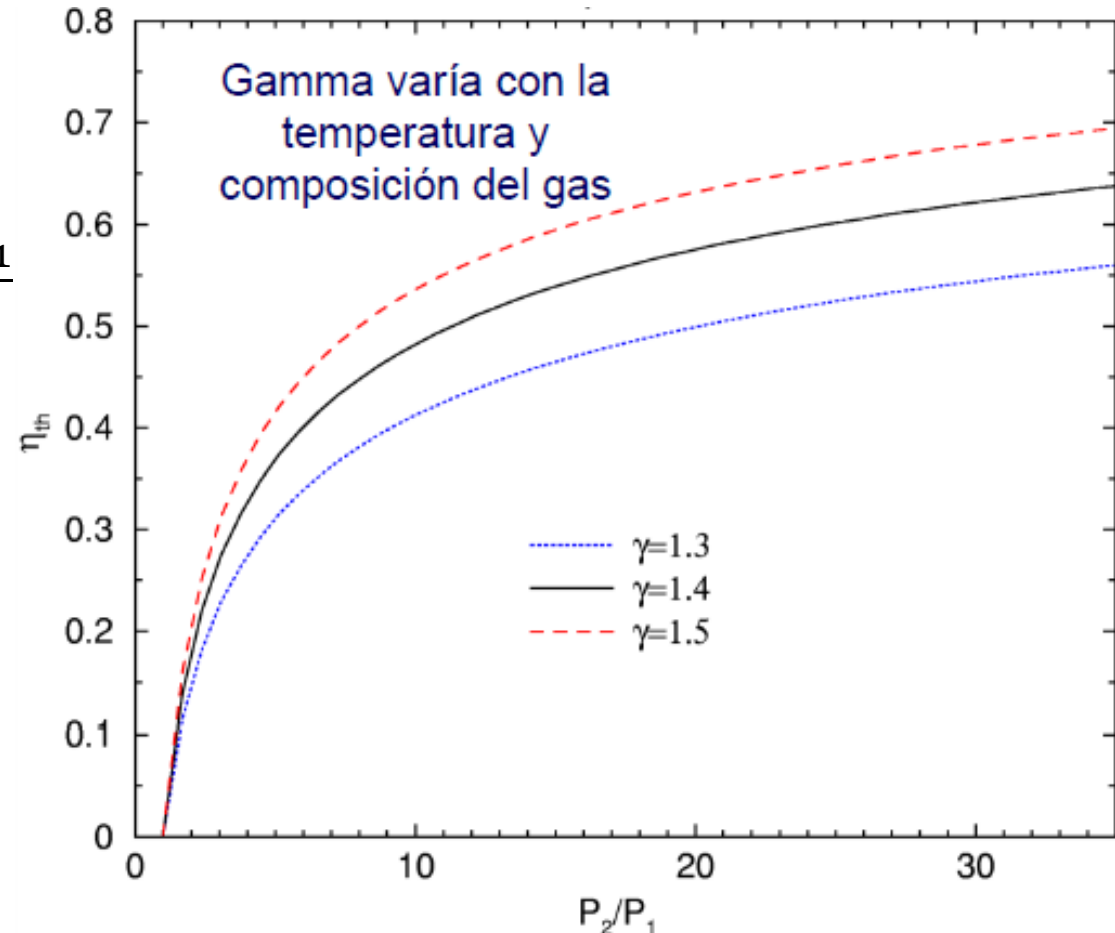
Definición válida para un motor turbina de gas del que se obtiene energía mecánica en el eje

En el estudio de la propulsión a chorro se adapta esta definición a la evaluación de la tasa de energía cinética aprovechable en la tobera



$$\eta_{th} = 1 - \frac{T_2}{T_3} = 1 - \left(\frac{p_2}{p_3}\right)^{\frac{\gamma-1}{\gamma}}$$

$$\eta_{th} = 1 - \frac{T_2}{T_3} = 1 - \frac{1}{(\pi_c)^{\frac{\gamma-1}{\gamma}}}$$



La **eficacia térmica** es **función** exclusiva de la **relación de compresión** para una relación de calores específicos constante

$$\frac{T_3}{T_2} = \left( \frac{p_3}{p_2} \right)^{\frac{\gamma-1}{\gamma}}$$

$$\eta_{th} = 1 - \frac{T_2}{T_3} = 1 - \left( \frac{p_2}{p_3} \right)^{\frac{\gamma-1}{\gamma}}$$

$$\eta_{th} = 1 - \frac{T_2}{T_3} = 1 - \frac{1}{(\pi_c)^{\frac{\gamma-1}{\gamma}}}$$

La eficacia térmica es función exclusiva de la relación de compresión para una relación de calores específicos constante

Motores turboprop  $\pi_c$ : 6~11

Motores turbojet  $\pi_c$ : 6~30

CFM 56  $\pi_c$ : 25~37



GE 90  $\pi_c$ : 35~40

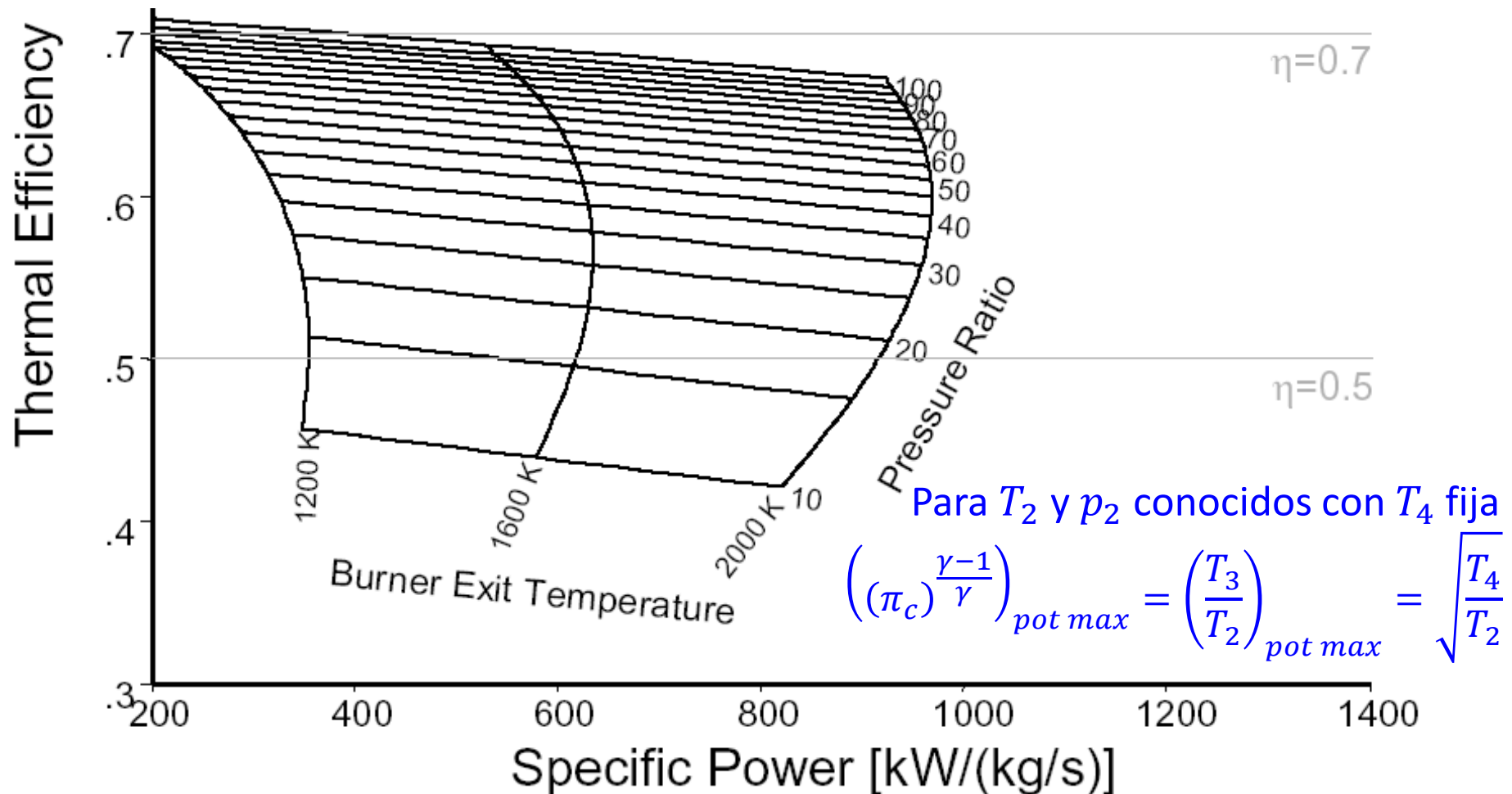


### 3. Ciclo Joule ideal

$$\eta_{th} = 1 - \frac{1}{(\pi_c)^{\frac{\gamma-1}{\gamma}}}$$

$\uparrow T_4 \rightarrow \downarrow \gamma \rightarrow \downarrow \eta$

$\uparrow T_4 \rightarrow \uparrow \text{Specific power}$





## Turbine

## Compressor

$$T_4 = f(T_3, \eta_c, m_f)$$

$$\eta_{th} = 1 - \frac{T_2}{T_3}$$

$$\uparrow\uparrow \text{Power} \propto \sqrt{\frac{T_4}{T_2}} \uparrow$$

# Contenidos

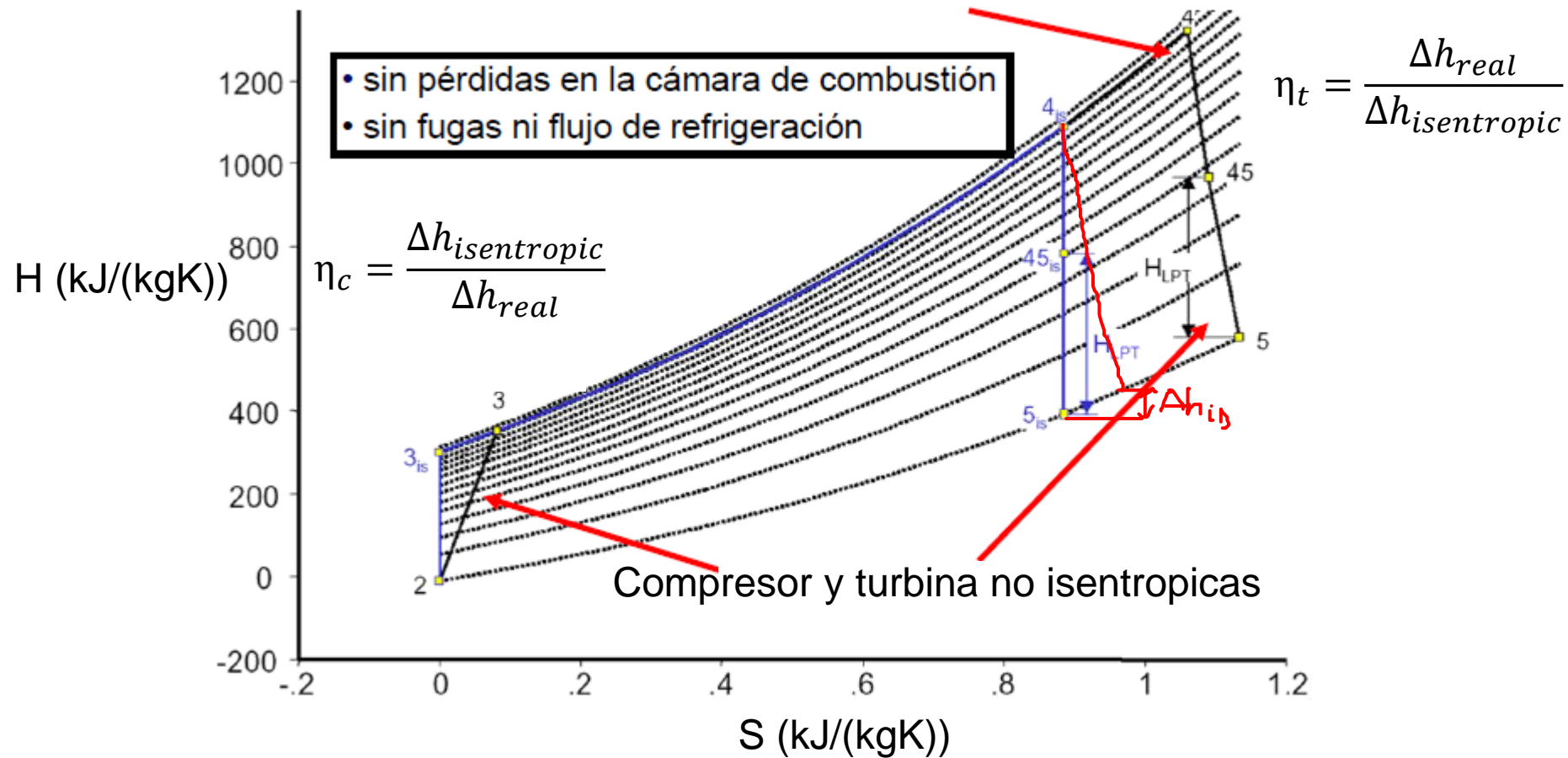
1. Diseño preliminar
2. Ciclo Joule y ciclo de detonación
3. Ciclo Joule ideal
4. Ciclo Joule real
5. Ciclo de detonación ideal
6. Ciclo de detonación real
7. Mejoras al ciclo Joule o al ciclo de detonación





## Ciclo Joule casi-real

$T_4$  aumentada para generar el mismo trabajo que el caso ideal



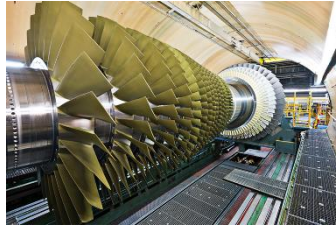
### 3. Ciclo Joule real

#### Ciclo Joule casi-real

##### Compresor

$$\eta_c = \frac{\Delta h_{is}}{\Delta h_{real}}$$

$$\eta_c = \frac{T_{3,is} - T_2}{T_3 - T_2}$$



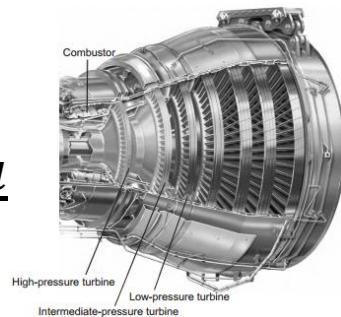
$$\eta_{th} = \frac{\eta_T \frac{T_4}{T_2} \left( 1 - \frac{1}{\left( \frac{p_3}{p_2} \right)^{\frac{\gamma-1}{\gamma}}} \right) - \frac{1}{\eta_c} \left( \left( \frac{p_3}{p_2} \right)^{\frac{\gamma-1}{\gamma}} - 1 \right)}{\left( \frac{T_4}{T_2} - 1 \right) - \frac{1}{\eta_c} \left( \left( \frac{p_3}{p_2} \right)^{\frac{\gamma-1}{\gamma}} - 1 \right)}$$

$$\eta_{th} = \frac{\Delta h_t - \Delta h_c}{Q_{add}} = \frac{\Delta h_t - \Delta h_c}{\Delta h_{camara\ combustion}}$$

##### Turbina

$$\eta_c = \frac{\Delta h_{real}}{\Delta h_{is}}$$

$$\eta_c = \frac{T_4 - T_5}{T_4 - T_{5,is}}$$



Relación de compresión  
 Eficiencias del compresor y turbina  
 Relación de temperaturas

$T_4$  temperatura a la entrada de la turbina (TIT) →  
 limitada por la temperatura de fusión por los  
 materiales y la capacidad de refrigeración del motor



### 3. Ciclo Joule real

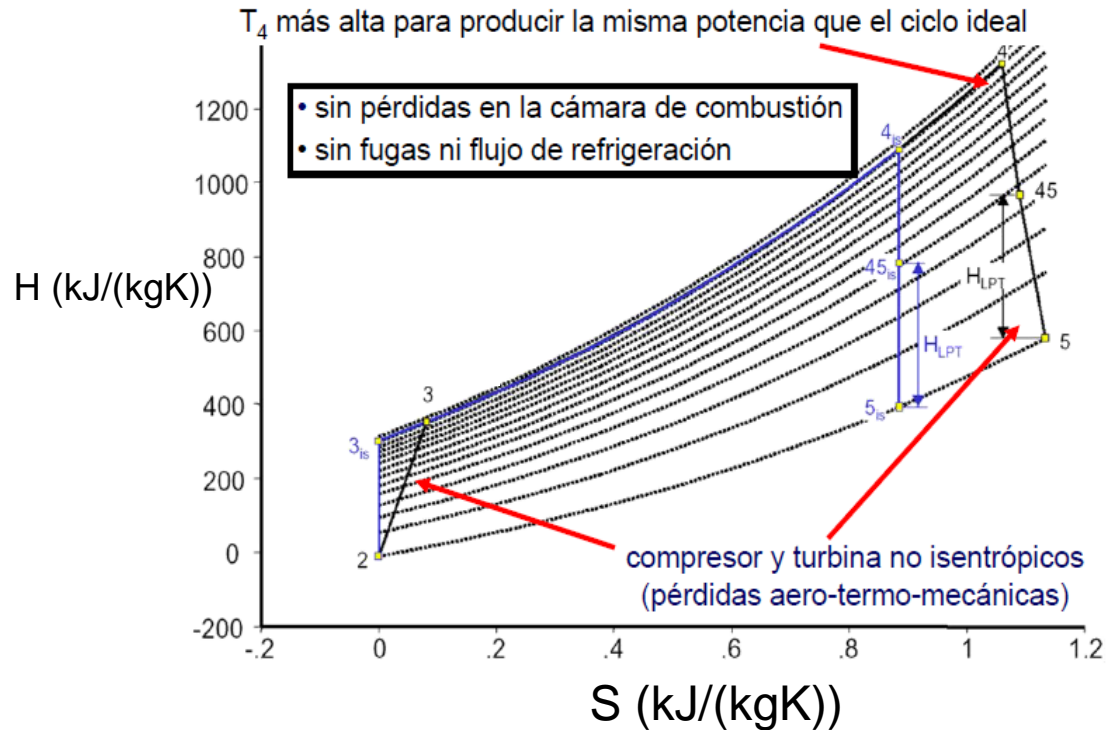
## Ciclo Joule casi-real, pérdidas en compresión y turbina

### Compresor

$$\eta_c = \frac{\Delta h_{isentropic}}{\Delta h_{real}} = \frac{T_{3s} - T_2}{T_3 - T_2}$$

### Turbina

$$\eta_c = \frac{\Delta h_{real}}{\Delta h_{isentropic}} = \frac{T_4 - T_5}{T_4 - T_{5s}}$$



### 3. Ciclo Joule real

#### Ciclo Joule casi-real, pérdidas en el difusor y cámara de combustión

Perdidas en el difusor

$$P_2 = P_0 \left( 1 + \frac{\eta_{dif}(\gamma - 1)}{2} M_0^2 \right)^{\frac{\gamma}{(\gamma-1)}}$$

Refrigeración, sangrado en el compresor

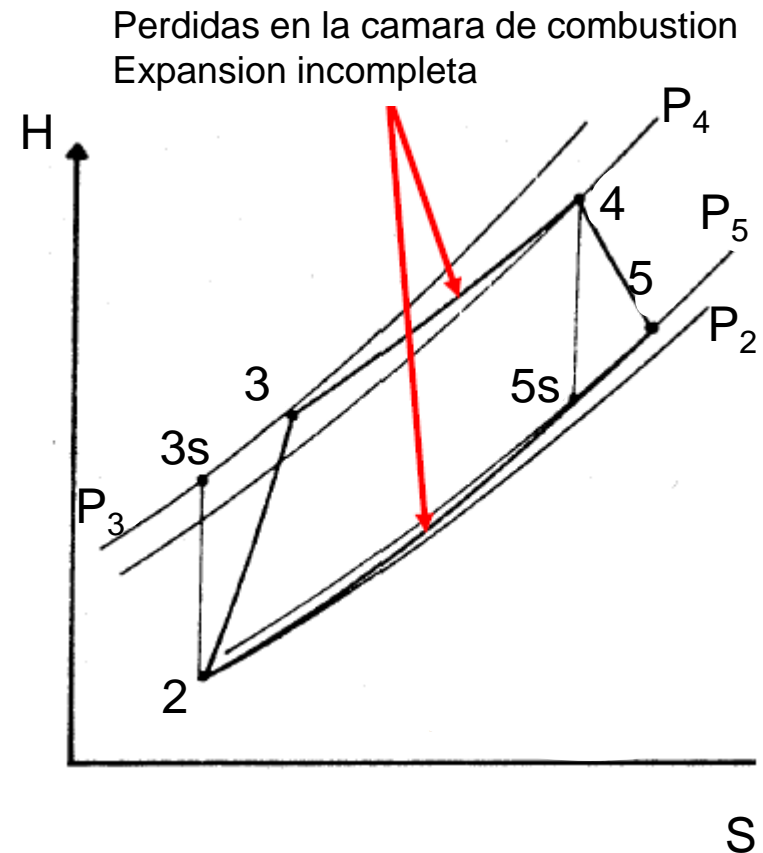
$$W_1 \neq W_3$$

Pérdida de presión en la cámara de combustión

$$P_4 < P_3$$

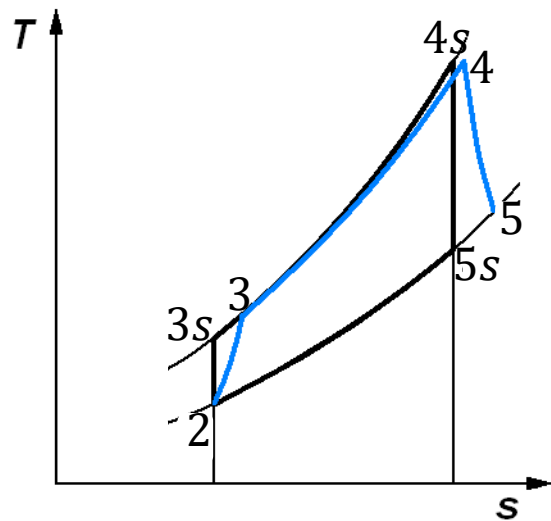
Expansion incompleta

$$P_5 > P_2$$



# 3. Ciclo Joule real

## Ciclo Joule casi-real



2-3'

$$p_3 = \pi_{23} p_2$$

$$s_3 = s_2 \Rightarrow \frac{T_{3s}}{T_2} = \left( \frac{p_3}{p_2} \right)^{\frac{\gamma-1}{\gamma}} = \pi_{23}^{\frac{\gamma-1}{\gamma}}$$

$$\eta_c = \frac{\Delta W_{is}}{\Delta W_{real}} = \frac{h_{3s} - h_2}{h_3 - h_2} = \frac{1 - \pi_{23}^{\frac{\gamma-1}{\gamma}}}{1 - \left( \frac{T_3}{T_2} \right)}$$

3'-4'

$$p_3 = p_4$$

$$h_4 = h_3 + \eta_q f L$$

$$T_4 = T_3 + \frac{\eta_q f L}{C_p}$$

$$W_c = \dot{m}_a (h_3 - h_2) = W_t = (1 + f) \dot{m}_a (h_4 - h_{5t})$$

3'-4'

$$p_5 = p_2$$

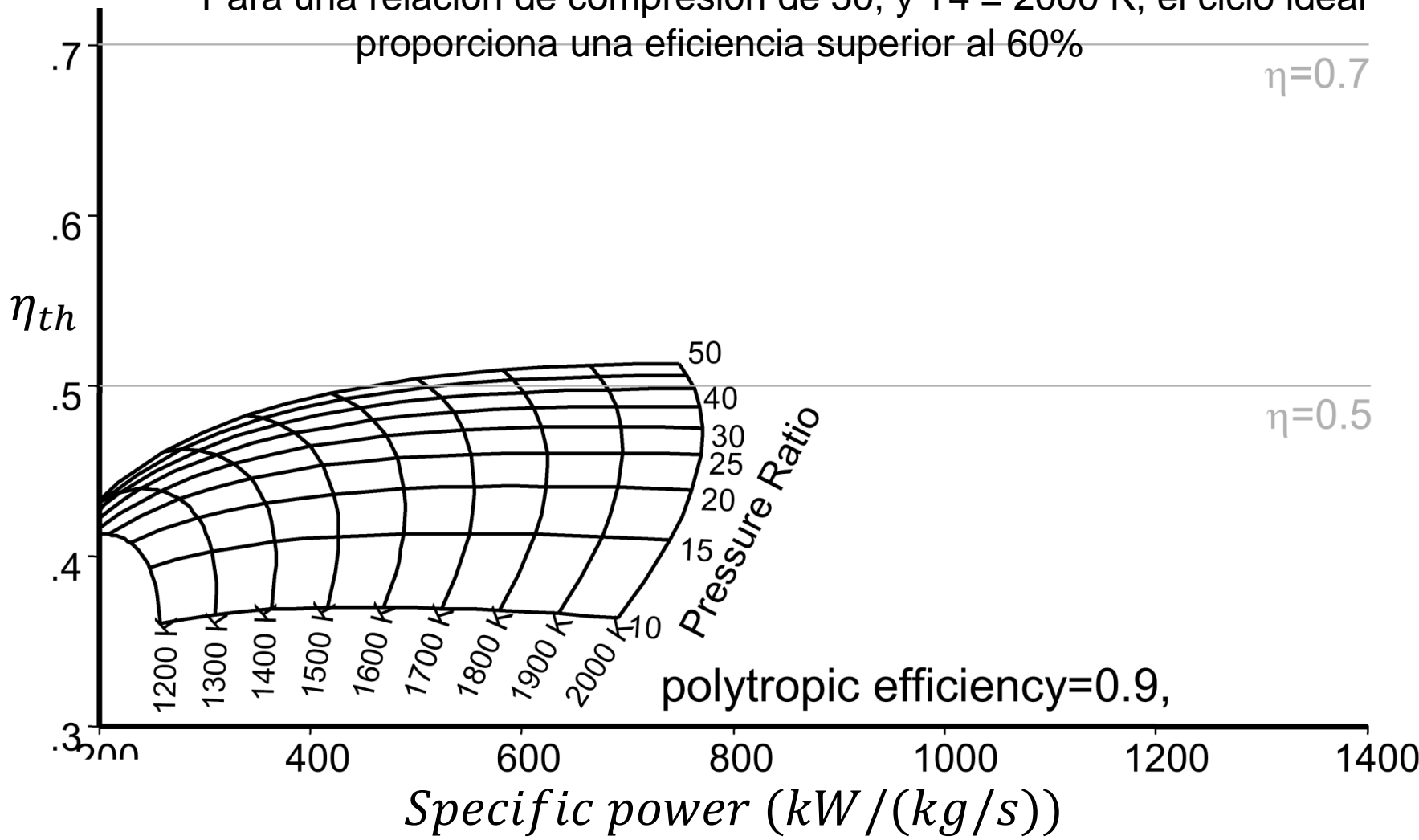
$$s_5 = s_4 \Rightarrow \frac{T_5}{T_4} = \left( \frac{p_5}{p_4} \right)^{\frac{\gamma-1}{\gamma}} = 1 / \pi_{23}^{\frac{\gamma-1}{\gamma}}$$

$$\eta_{34} = \frac{\Delta W_{real}}{\Delta W_{is}} = \frac{h_5 - h_4}{h_{5s} - h_4} = \frac{1 - \left( \frac{T_{5t}}{T_{4t}} \right)}{1 - \pi_{23}^{\frac{\gamma-1}{\gamma}}}$$

Ciclo Joule casi-real

T4 más alta para producir la misma potencia. Por lo tanto la eficiencia es inferior comparada con el ciclo ideal

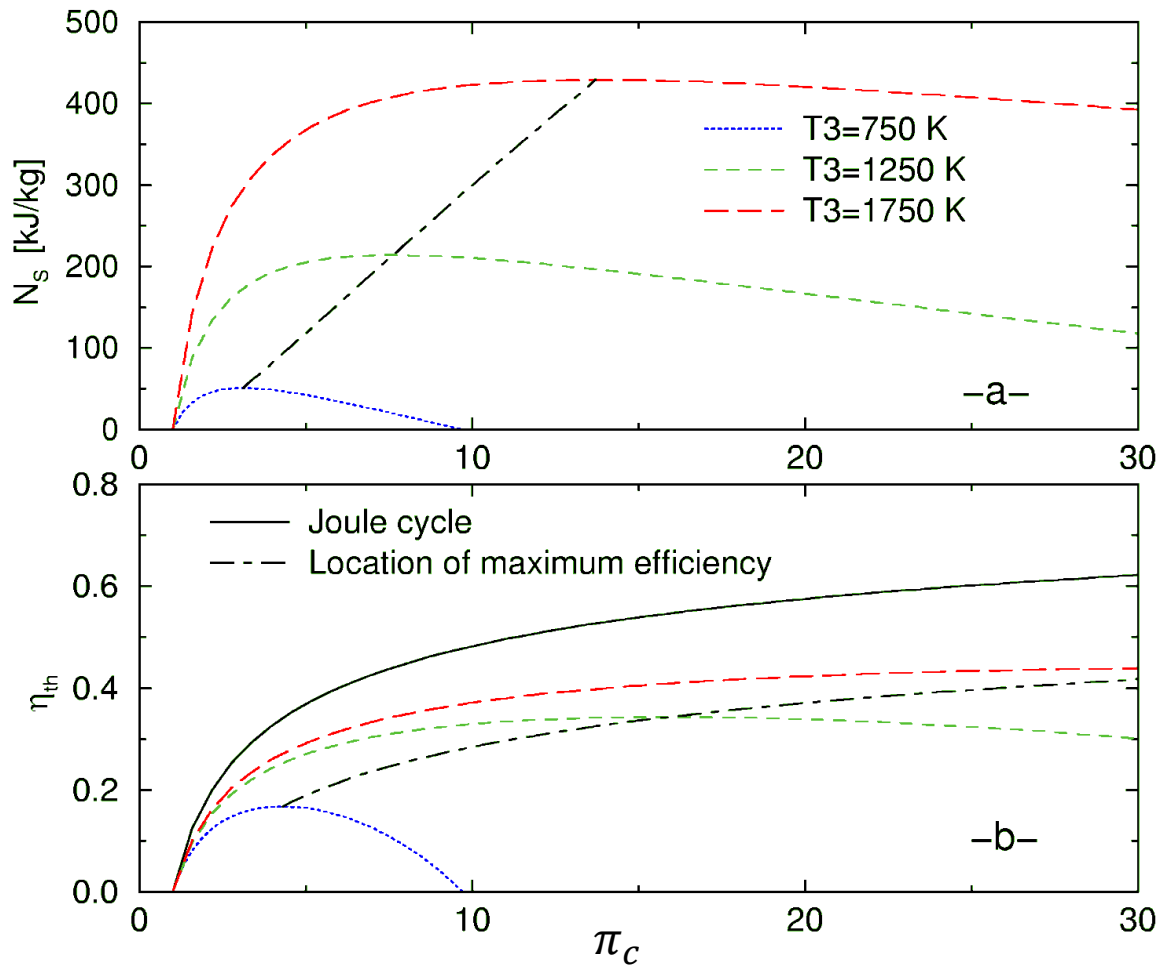
Para una relación de compresión de 50, y T4 = 2000 K, el ciclo ideal proporciona una eficiencia superior al 60%



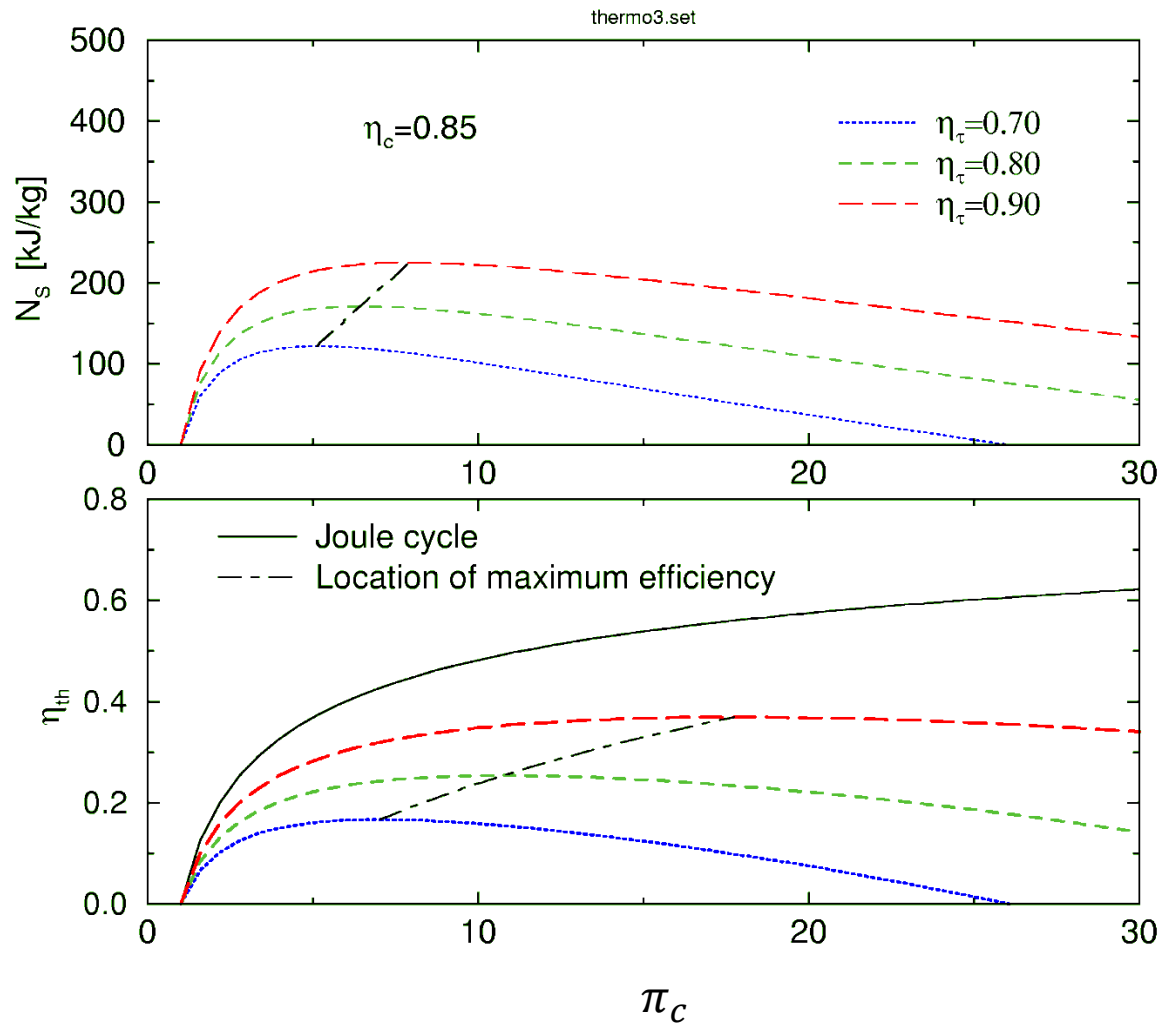
## Ciclo Joule casi-real

$$\begin{aligned}
 \eta_c &= 0.85 \\
 \eta_T &= 0.88 \\
 c_p &= 1003 \frac{J}{kgK} \\
 \gamma &= 1.4
 \end{aligned}$$

La máxima potencia específica ocurre a una relación de compresión mas baja que la necesaria para la máxima eficiencia



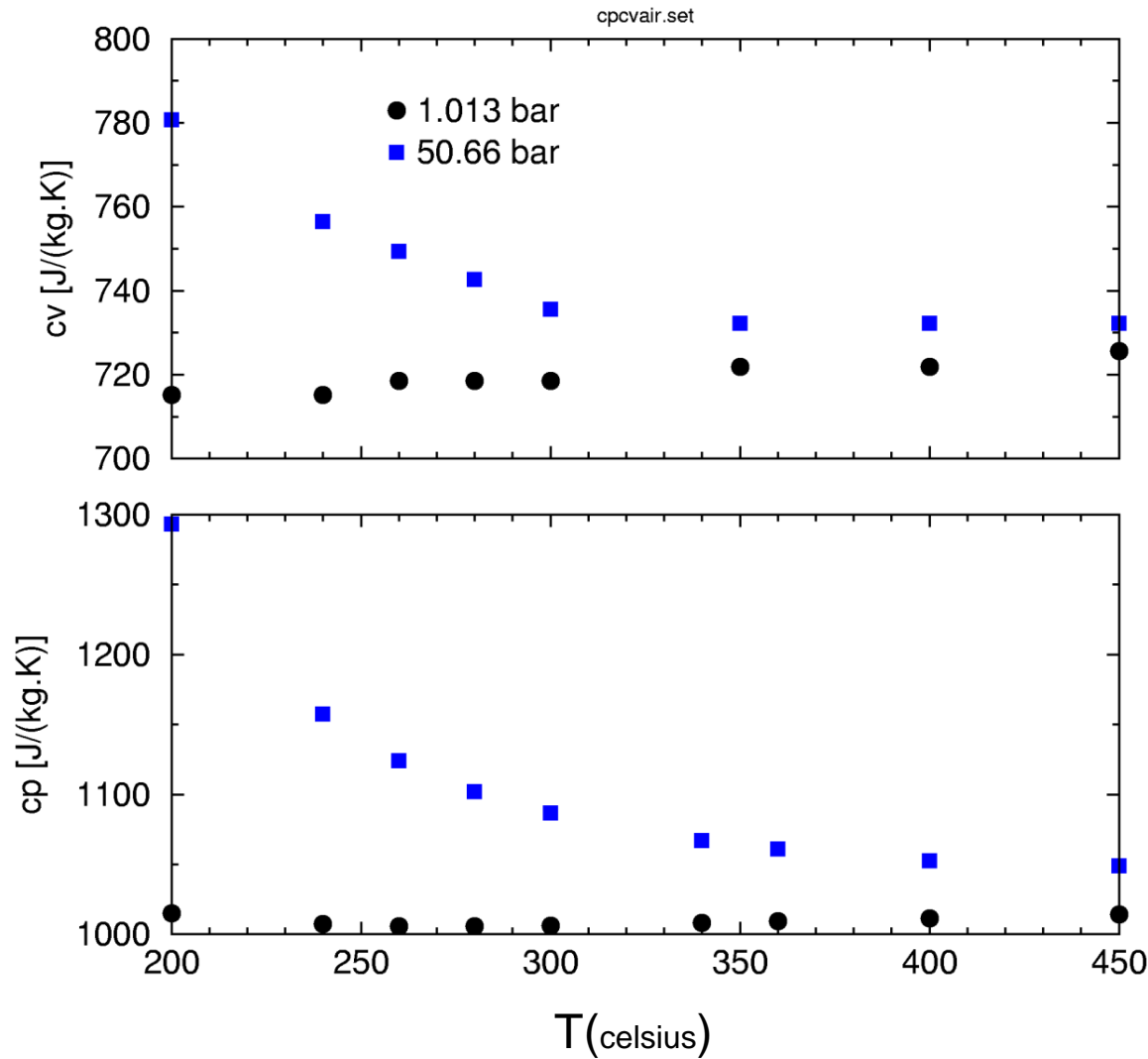
## Ciclo Joule casi-real



Efecto de la eficiencia de la  
turbina sobre  
potencia especifica  
eficiencia térmica

$$\begin{aligned}
 \eta_c &= 0.85 \\
 c_p &= 1003 \frac{J}{kgK} \\
 \gamma &= 1.4 \\
 T_4 &= 1250K
 \end{aligned}$$

## Ciclo Joule casi-real

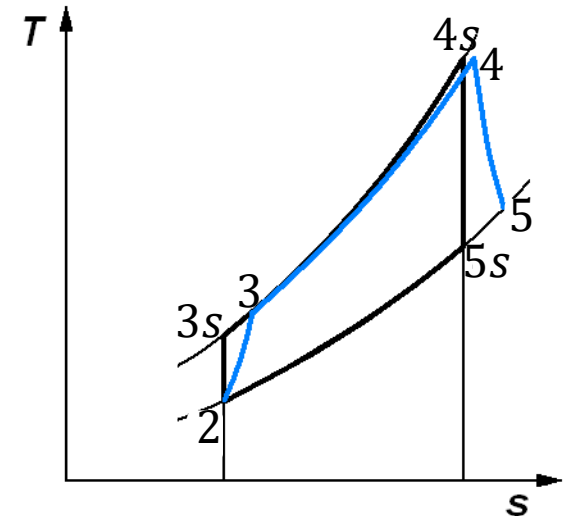


Efecto de la temperatura y presión en el  $c_p$  y  $c_v$  del aire

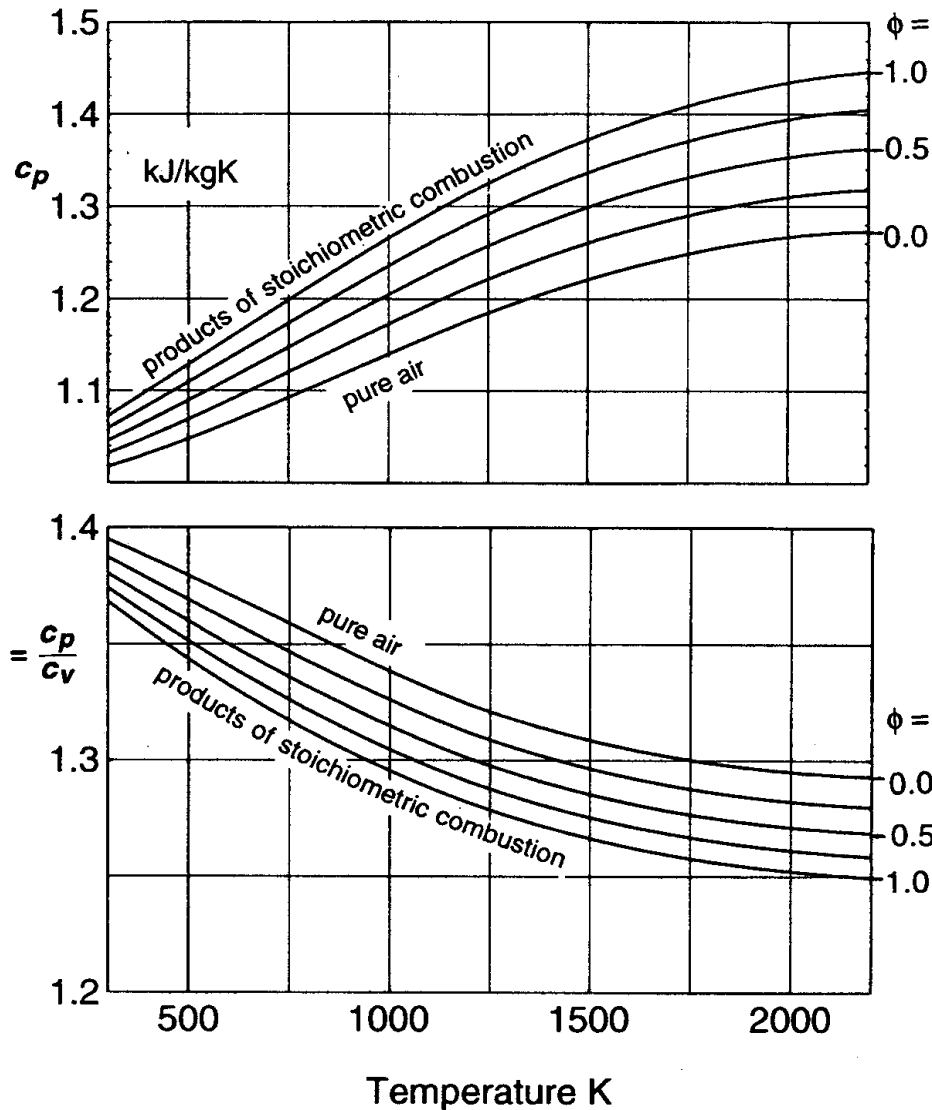
$$\Delta h_t = c_{p,t}(T_4 - T_5)$$

$$\Delta h_c = c_{p,c}(T_3 - T_2)$$

Si  $c_{p,c} < c_{p,t} \rightarrow$  *Mejoramos extracción de potencia*



## Ciclo Joule casi-real



Efecto de la composición (dosado) y la temperatura en el  $c_p$  y  $\gamma$  de los productos de la combustión

*Dosado absoluto*

$$f = \frac{m_f}{m_a}$$

*Dosado estequiométrico*

$$f_e = \left( \frac{m_f}{m_a} \right)_{est}$$

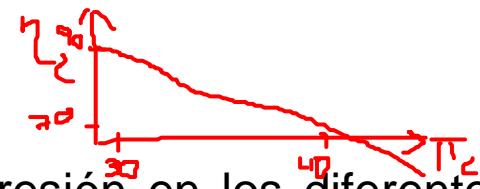
*Dosado relativo*

$$\Phi = f_r = \frac{f}{f_e}$$

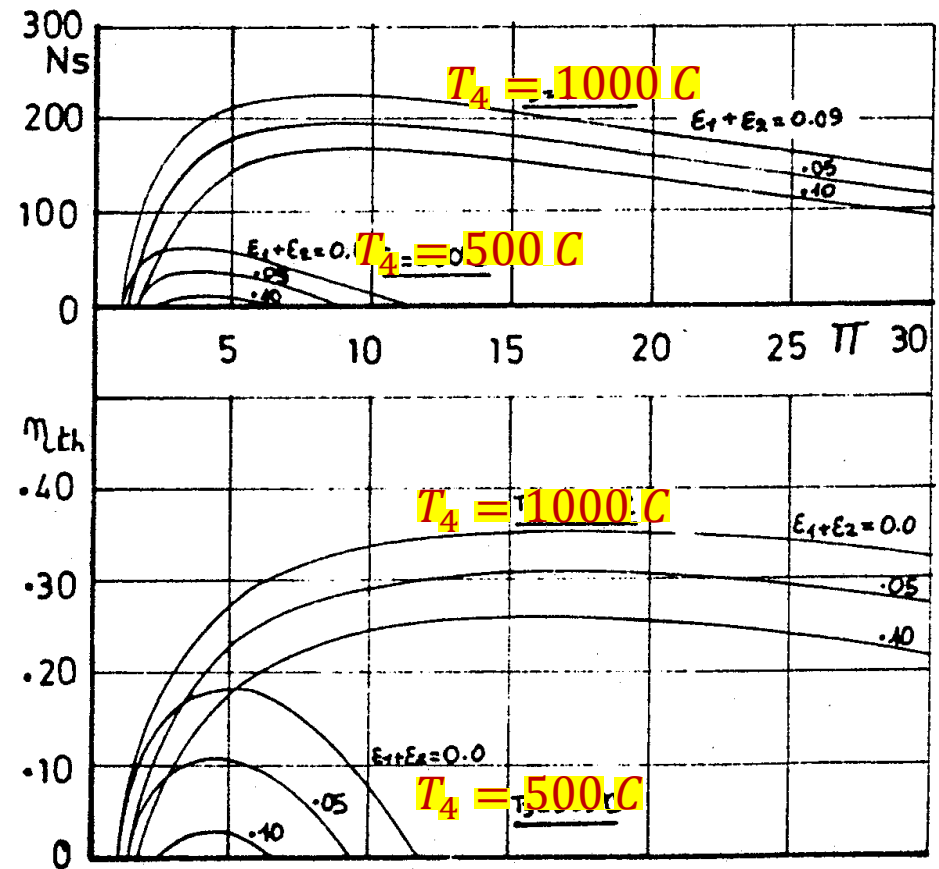
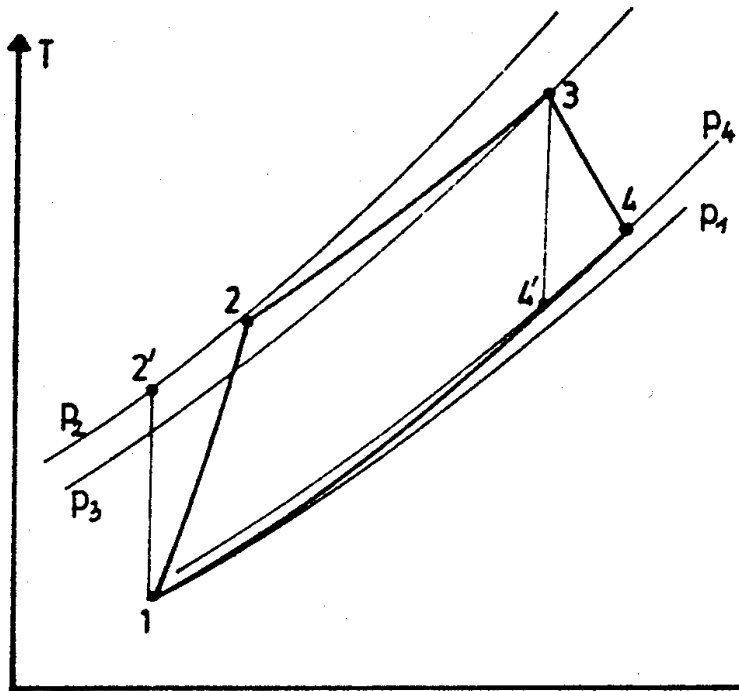


## Ciclo Joule real

Necesidad de contar con pérdidas de presión en los diferentes elementos y las debidas a la refrigeración



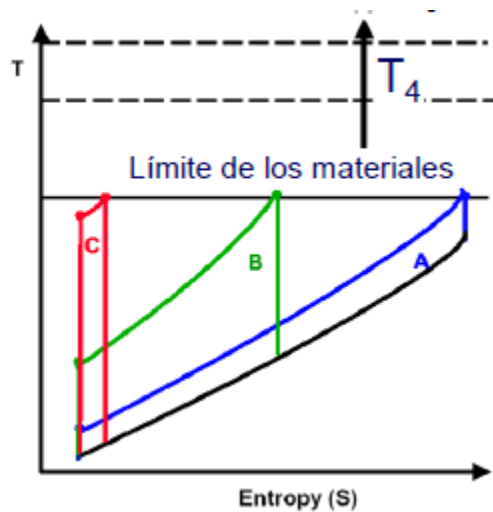
Perdidas de presión en la cámara de combustión y expansión incompleta



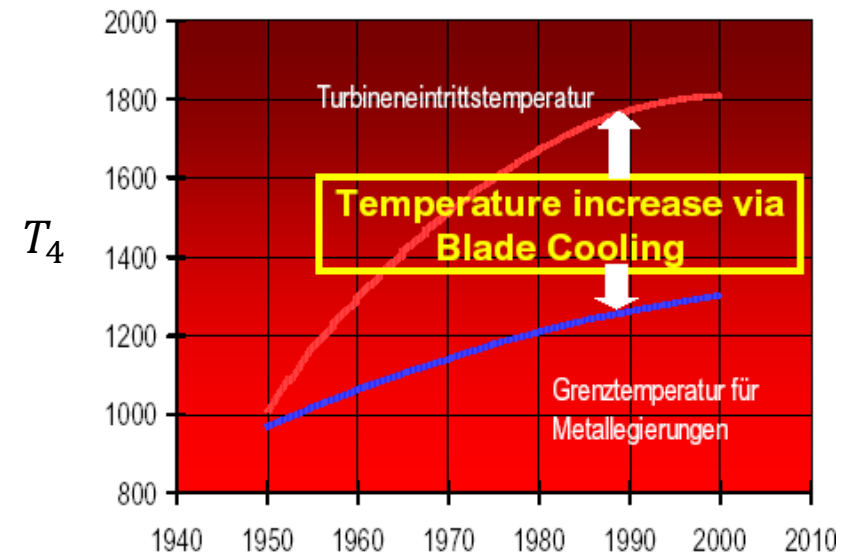
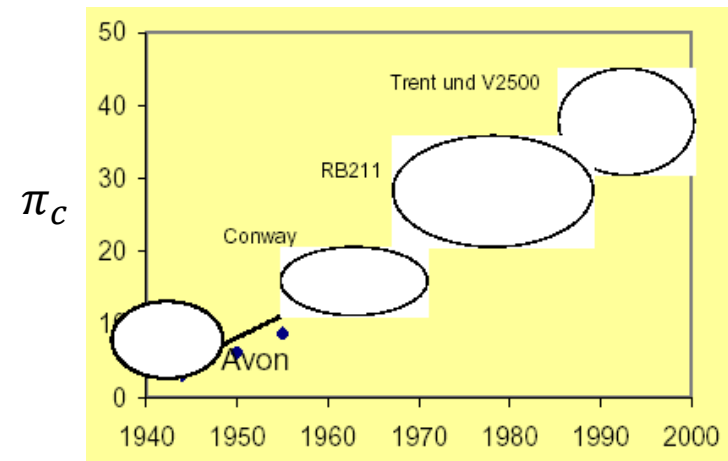
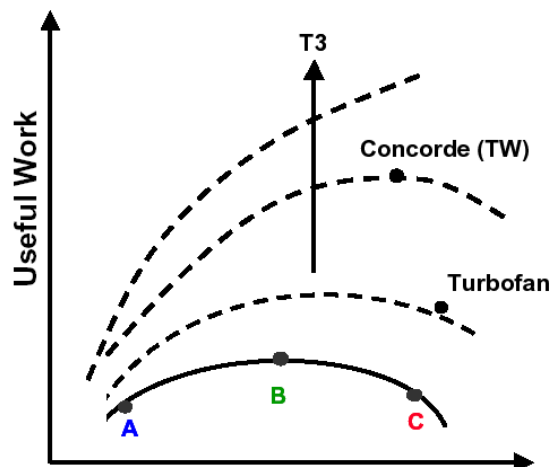
### 3. Ciclo Joule real

#### Ciclo Joule real

Límites del trabajo útil: relación de compresión, temperatura



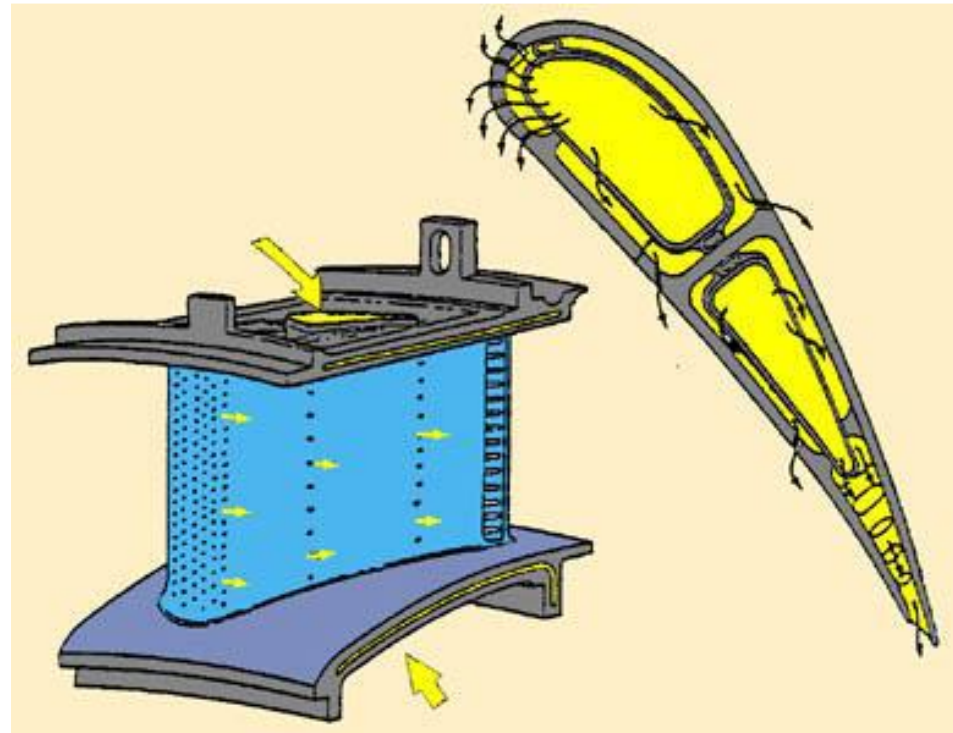
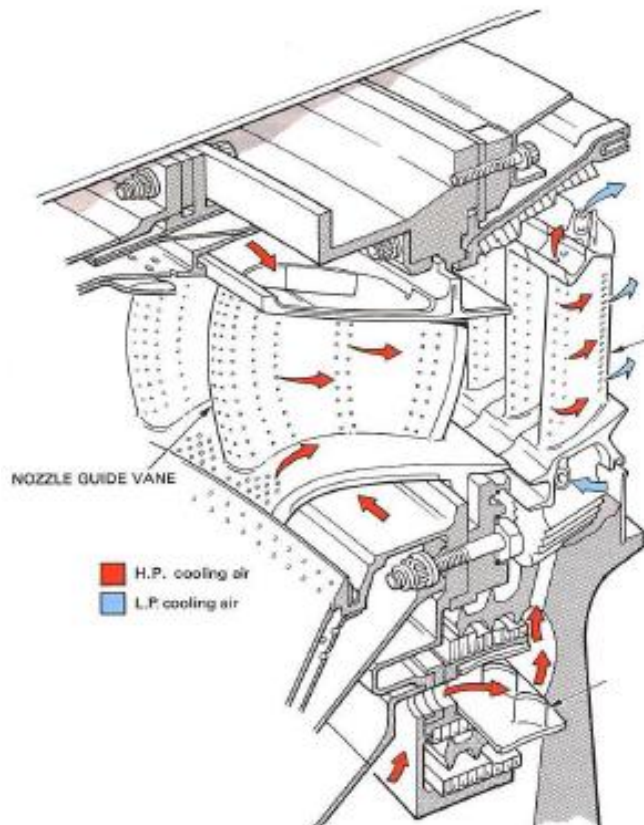
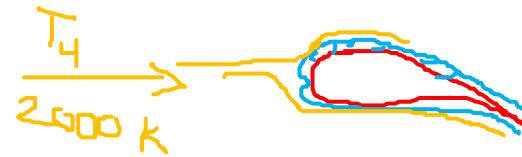
Temperatura limitada por los materiales y la refrigeración



## Ciclo Joule real

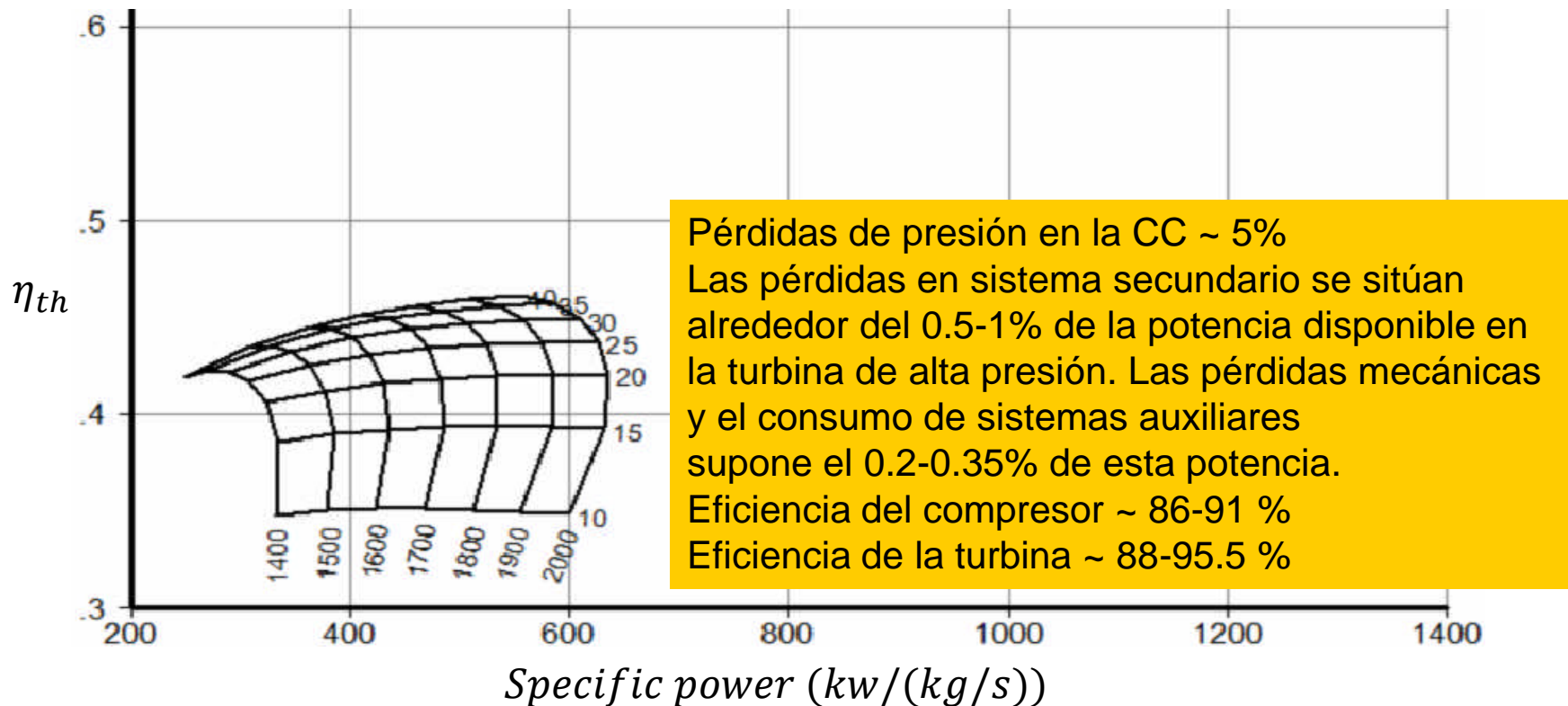
Límites del trabajo útil: relación de compresión, temperatura

La refrigeración posibilita el aumento de la temperatura de entrada a la turbina. En la turbina de alta presión se puede utilizar como refrigerante hasta el 20% del flujo másico que entra al núcleo del motor.



## Ciclo Joule real

El rendimiento y potencia específica del ciclo real es muy inferior al que se obtiene al realizar un cálculo considerando que es casi-real (sin pérdidas de refrigeración, en el sistema secundario, en la cámara de combustión, etc.)



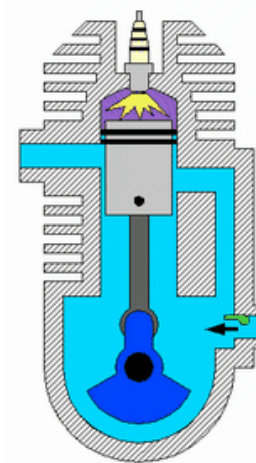
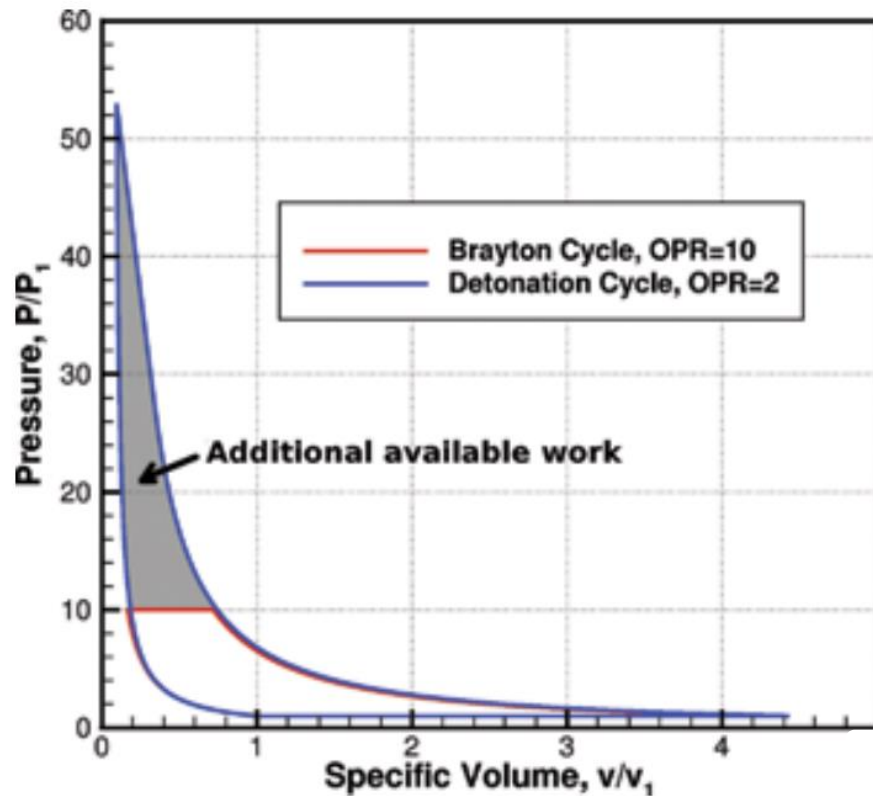
# Contenidos

1. Diseño preliminar
2. Ciclo Joule y ciclo de detonación
3. Ciclo Joule ideal
4. Ciclo Joule real
5. Ciclo de detonación ideal
6. Ciclo de detonación real
7. Mejoras al ciclo Joule o al ciclo de detonación

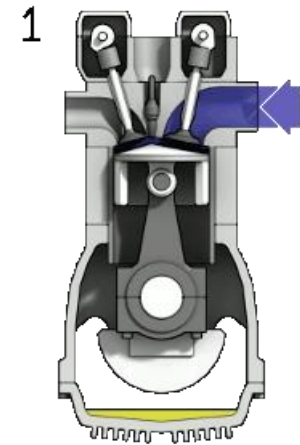


### 3. Ciclo Detonación ideal

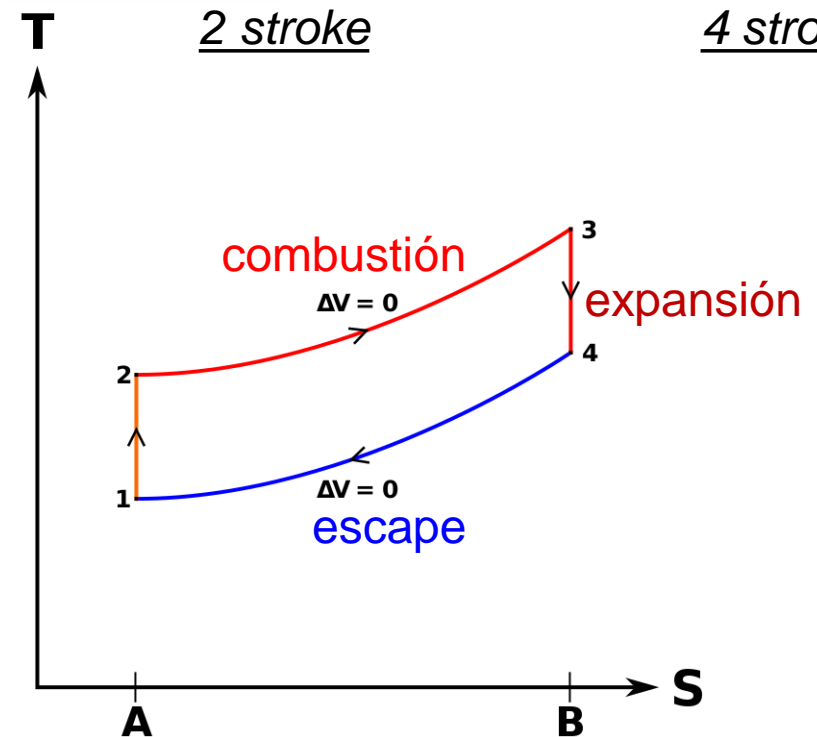
Ciclo de detonación // Ciclo Otto



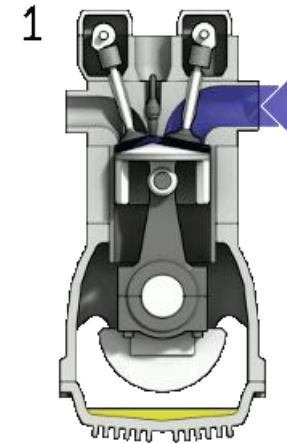
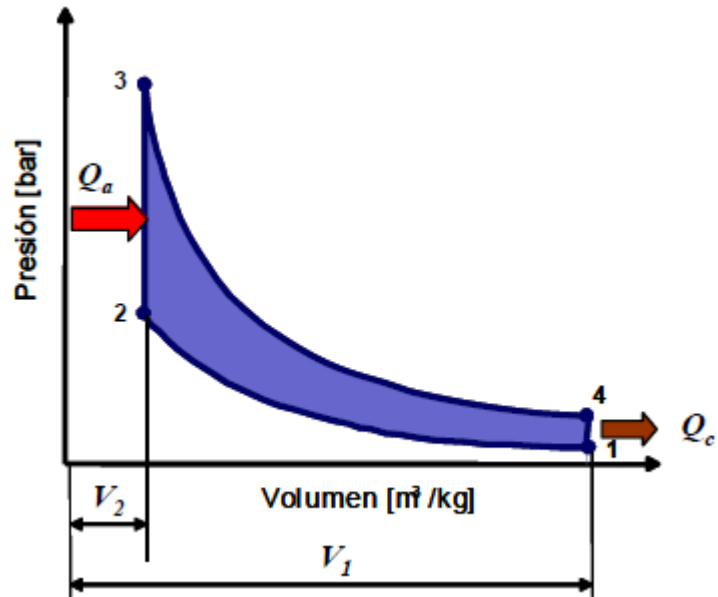
2 stroke



4 stroke

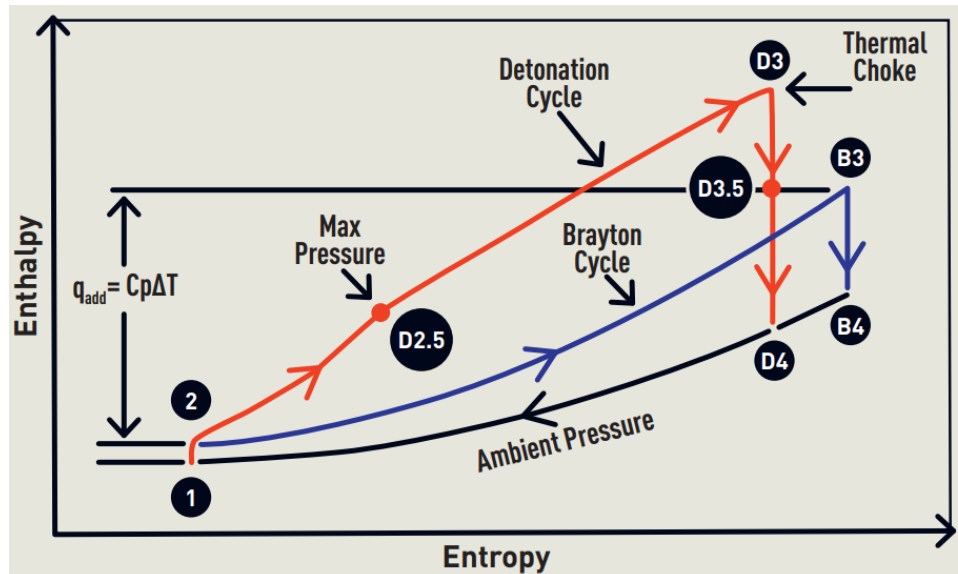


### 3. Ciclo Detonación ideal



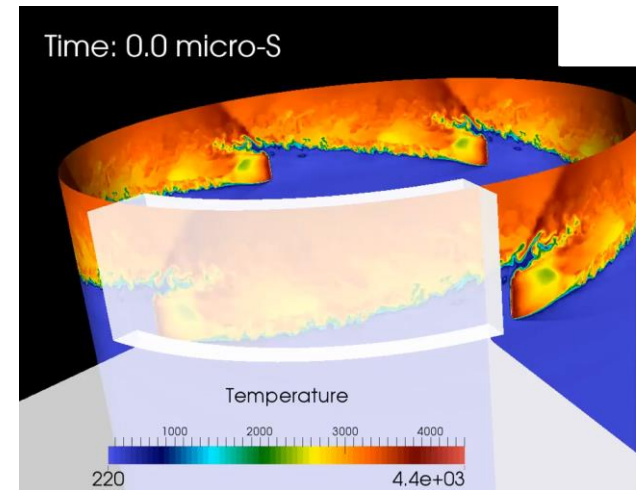
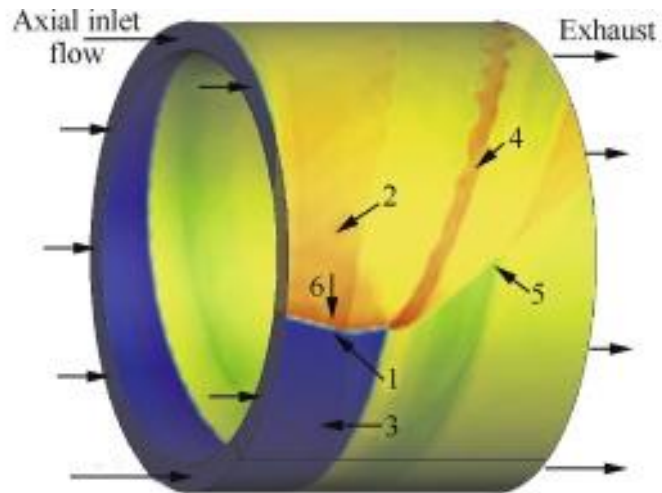
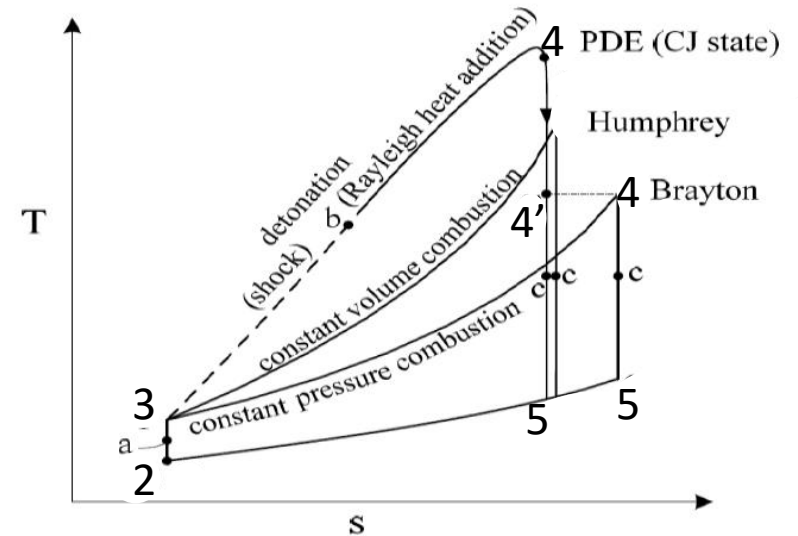
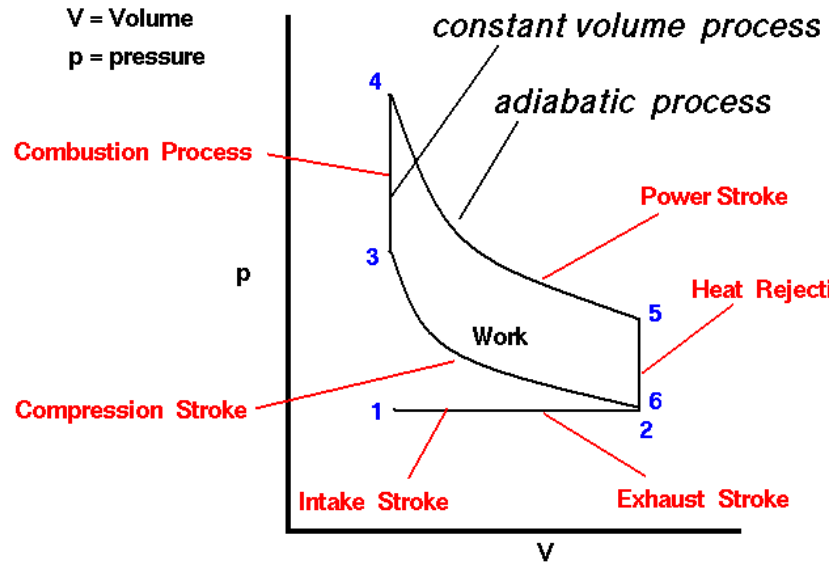
4 stroke

Asumiendo gas perfecto  $\eta = \frac{W}{Q_a} = 1 - \frac{1}{\pi_c^{\gamma-1}}$





# 3. Ciclo Detonación ideal





# Contenidos

1. Diseño preliminar
2. Ciclo Joule y ciclo de detonación
3. Ciclo Joule ideal
4. Ciclo Joule real
5. Ciclo de detonación ideal
6. Ciclo de detonación real
7. Mejoras al ciclo Joule o al ciclo de detonación

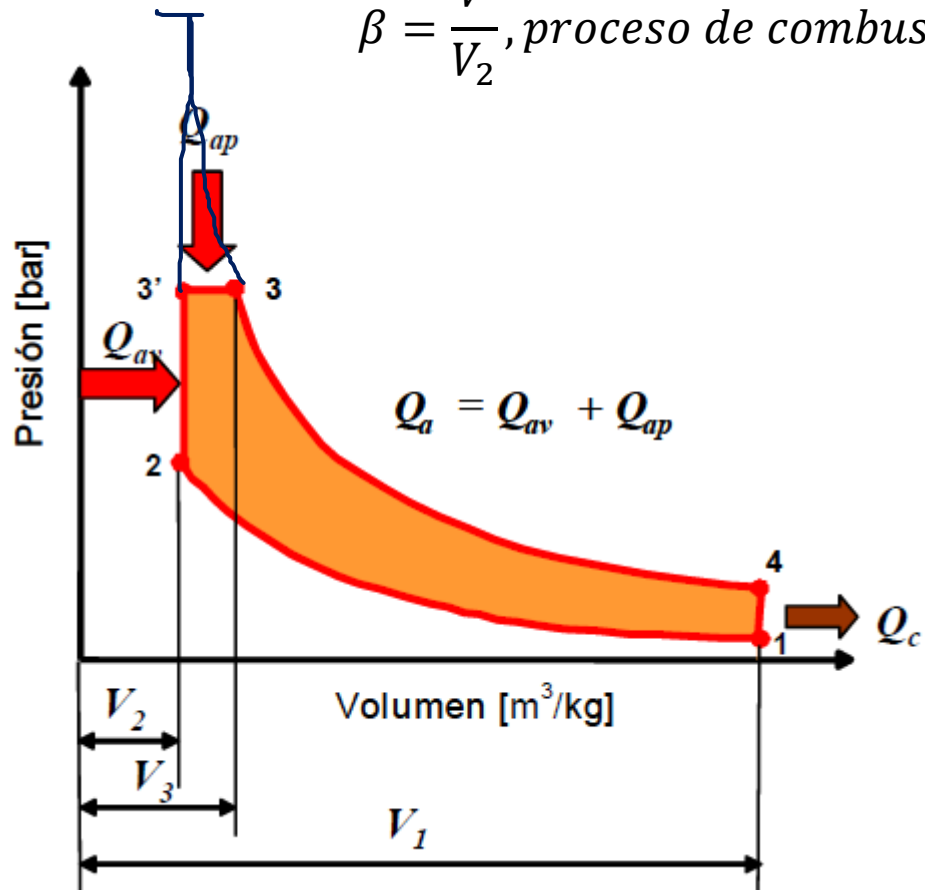


### 3. Ciclo Detonación real

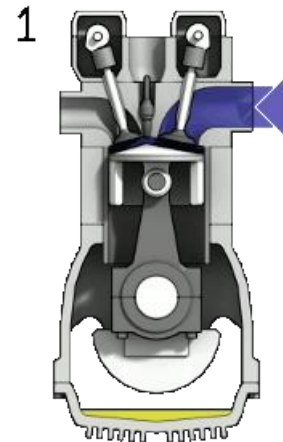
Ciclo de detonación con presión máxima limitada

$$\alpha = \frac{p_3}{p_2}, \text{ proceso de combustión a } \textbf{volumen constante}$$

$$\beta = \frac{V}{V_2}, \text{ proceso de combustión a } \textbf{presión constante}$$



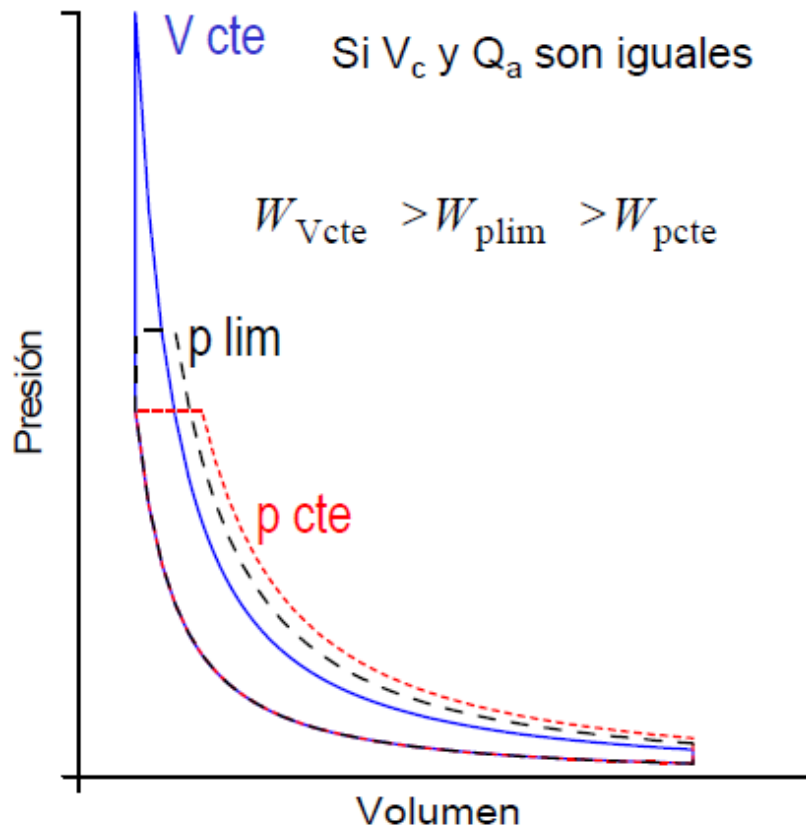
$$\eta = 1 - \frac{1}{r_c^{\gamma-1}} \frac{\alpha\beta^\gamma - 1}{\alpha - 1 + \gamma\alpha(\beta - 1)}$$



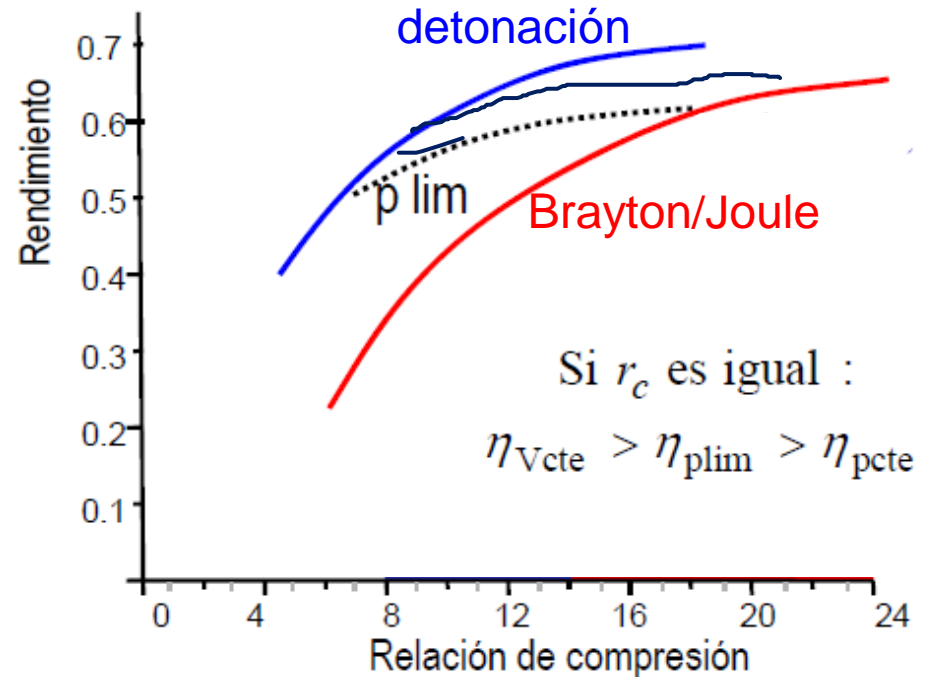
### 3. Ciclo Detonación real

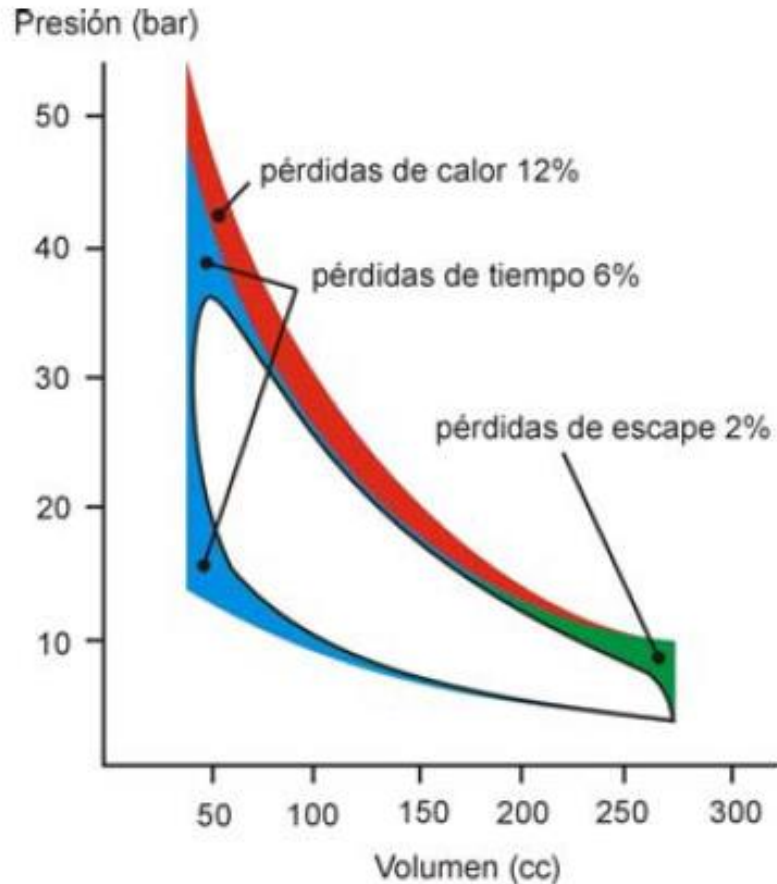
Ciclo de detonación con presión máxima limitada

#### TRABAJO



#### RENDIMIENTO





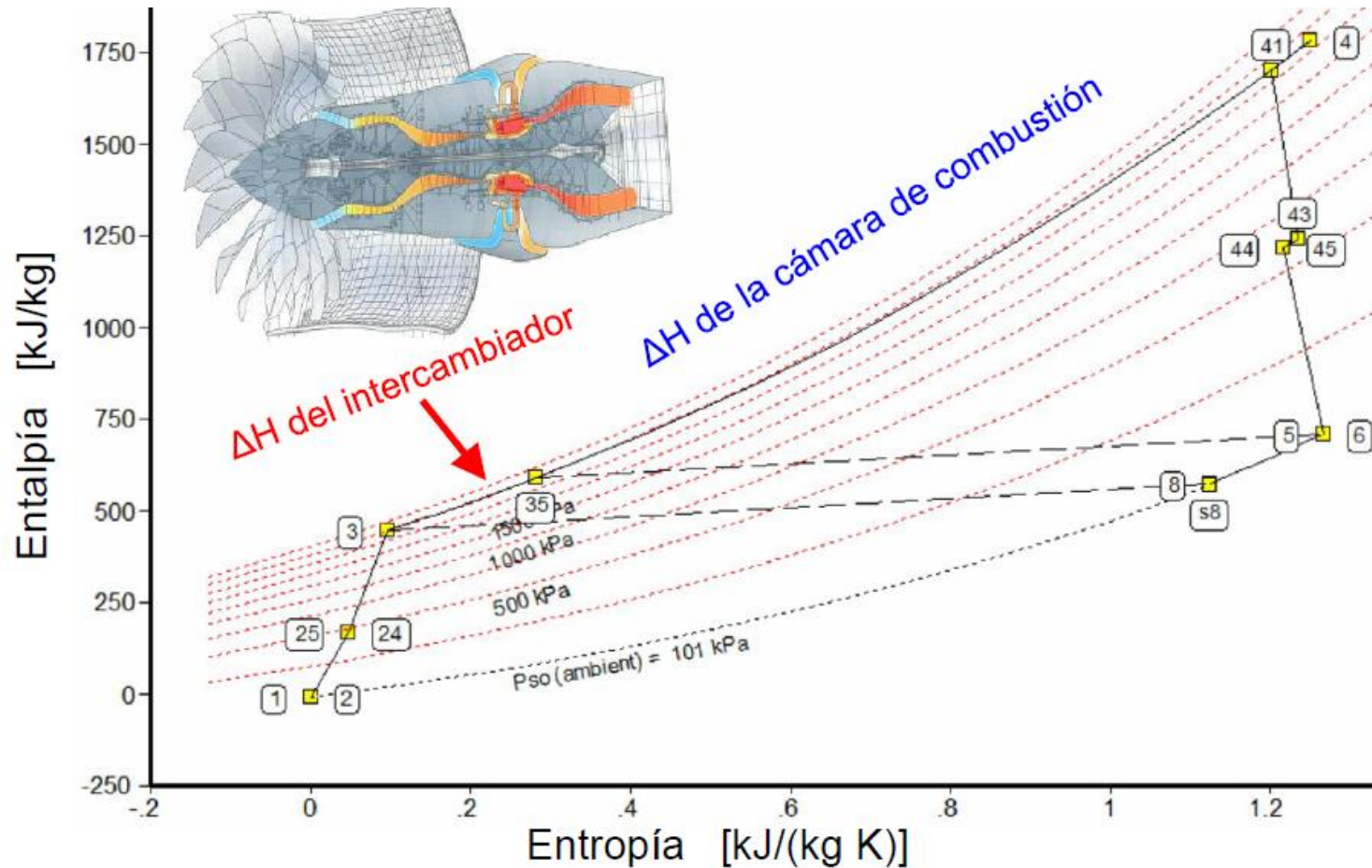
- Pérdidas de escape
- Pérdidas de calor
- Combustión incompleta
- Pérdidas de tiempo
- Mezcla incompleta
- Expulsión de gases antes de realizar expansión completa
- Pérdidas por fricción
- Pérdidas por ondas de choque

# Contenidos

1. Diseño preliminar
2. Ciclo Joule y ciclo de detonación
3. Ciclo Joule ideal
4. Ciclo Joule real
5. Ciclo de detonación ideal
6. Ciclo de detonación real
7. Mejoras al ciclo Joule o al ciclo de detonación



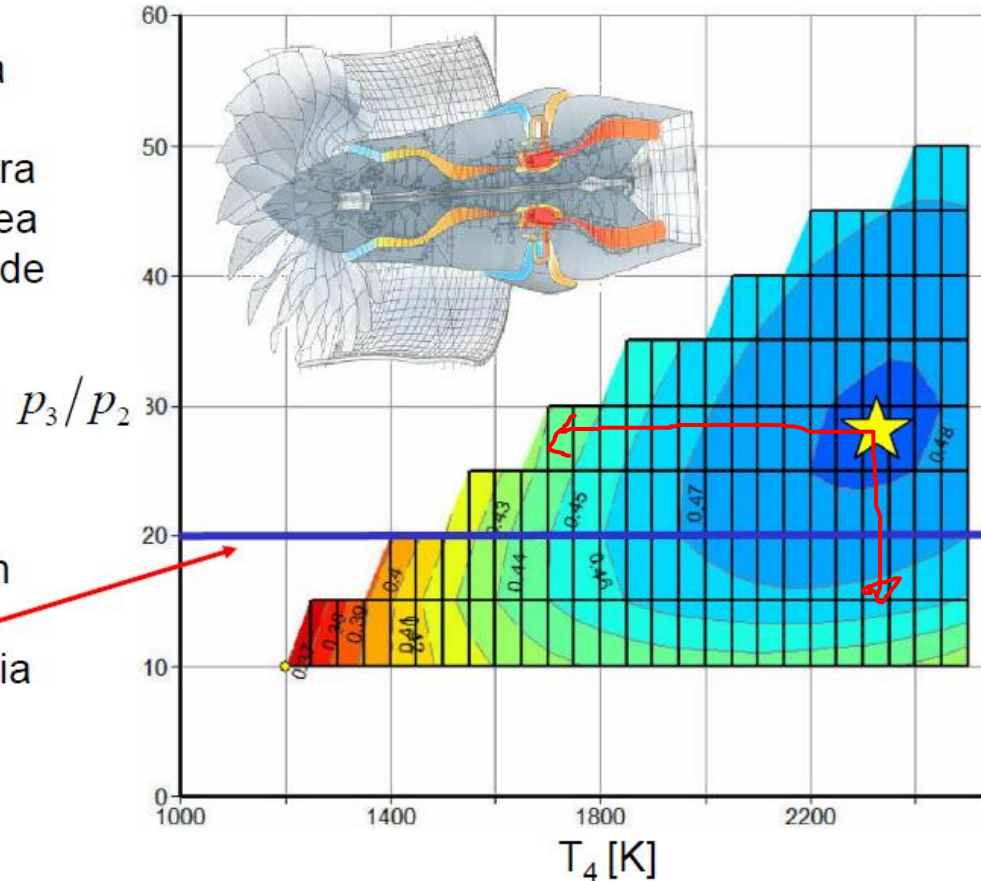
Recuperar calor de los gases de escape (**Regeneración**)



## Recuperar calor de los gases de escape (**Regeneración**)

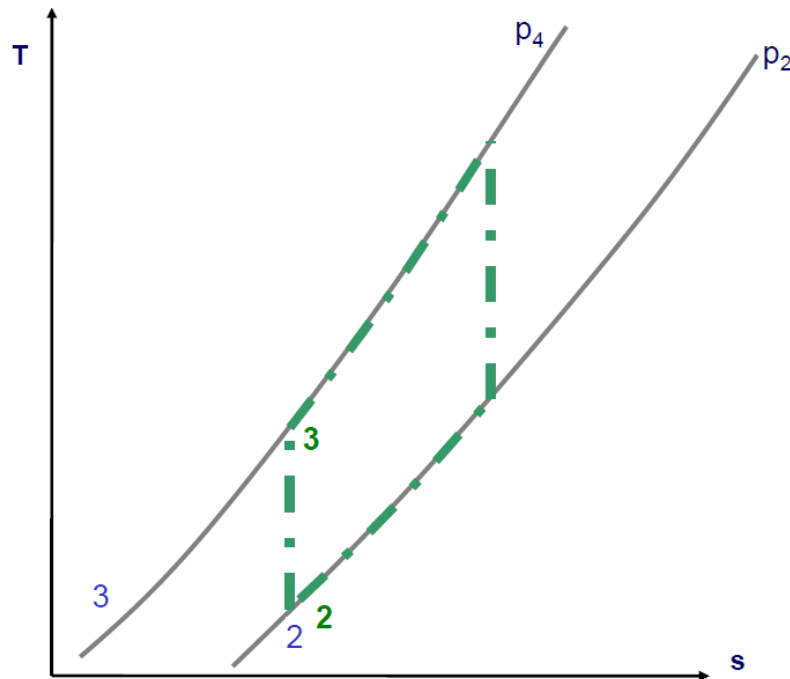
La regeneración mejora la eficiencia del ciclo Joule. requiere que la temperatura de los gases de escape sea superior a la temperatura de salida del compresor

La relación de compresión óptima es igual a 20. Aporta la máxima eficiencia a la menor temperatura.



## Aproximación al ciclo Ericsson

Aumentar el trabajo útil proporcionado por el ciclo Joule manteniendo la misma relación de compresión y las mismas temperaturas de admisión y entrada a la turbina





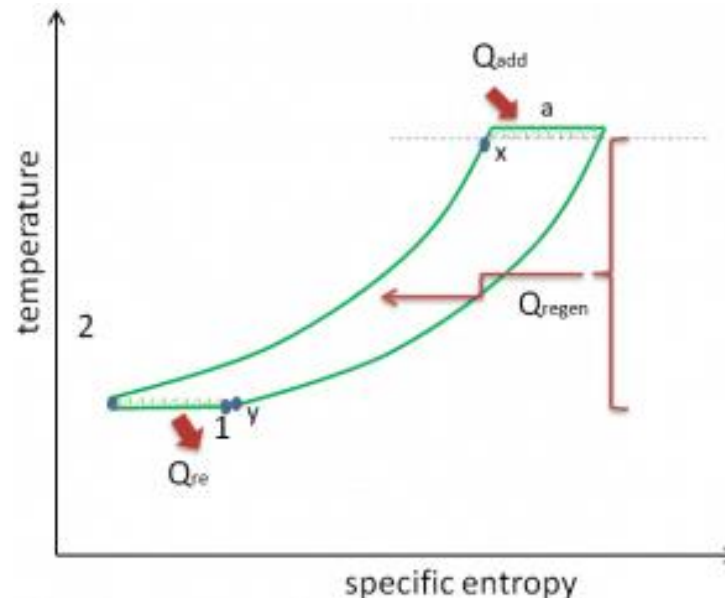
## Ciclo Ericsson

Proceso 1  $\rightarrow$  2: Compresión isotérmica. Compresión está interenfriada. El aire comprimido fluye hacia un tanque de almacenamiento a presión constante. En el ciclo ideal, no hay transferencia de calor a través de las paredes del tanque.

Proceso 2  $\rightarrow$  3: Adición de calor isobárico. Desde el tanque, el aire comprimido fluye a través del regenerador y recoge calor a una presión constante alta en el camino hacia el cilindro de potencia calentado.

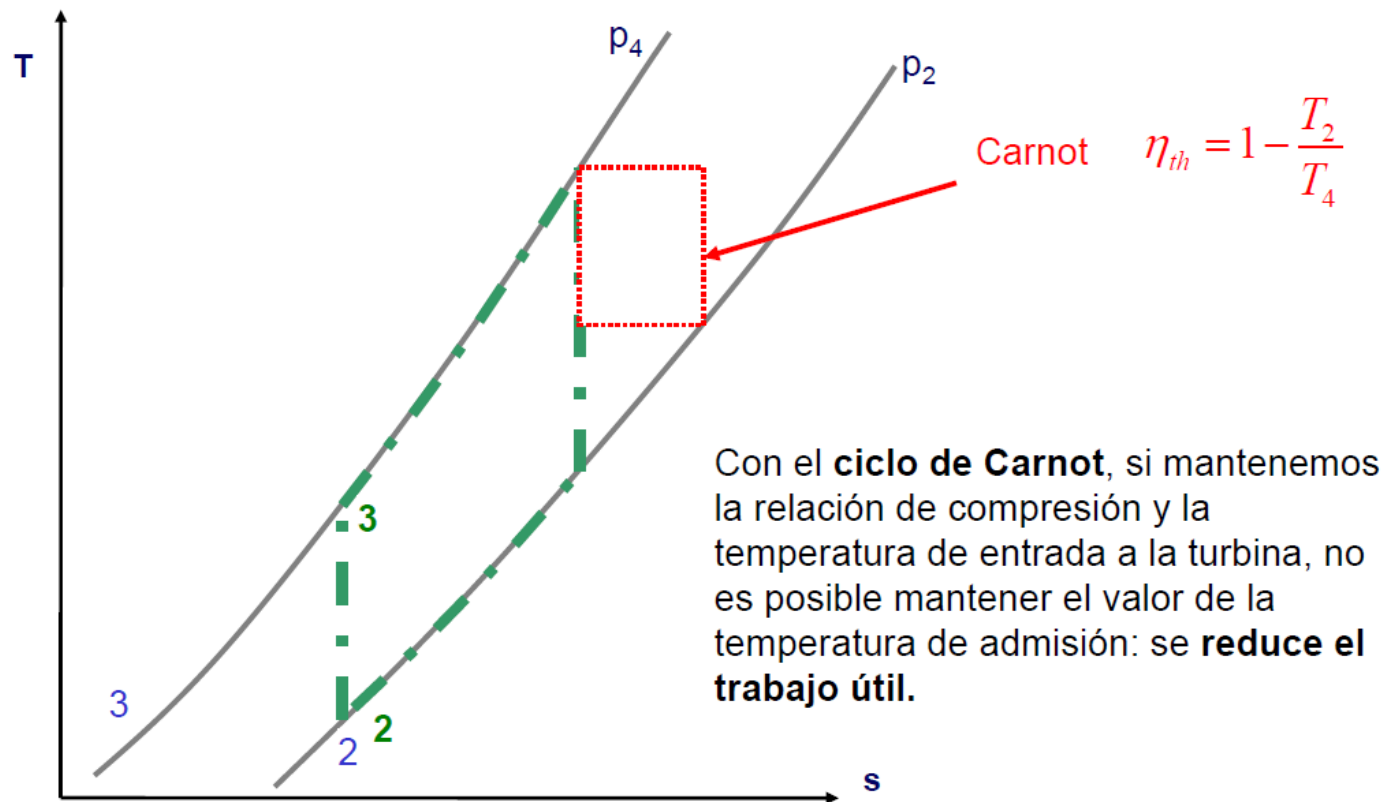
Proceso 3  $\rightarrow$  4: Expansión isotérmica. El espacio de expansión del cilindro de potencia se calienta externamente y el gas experimenta una expansión isotérmica.

Proceso 4  $\rightarrow$  1: Eliminación de calor isobárico. Antes de que el aire se libere como escape, vuelve a pasar a través del regenerador, enfriando así el gas a una presión constante baja y calentando el regenerador para el siguiente ciclo.



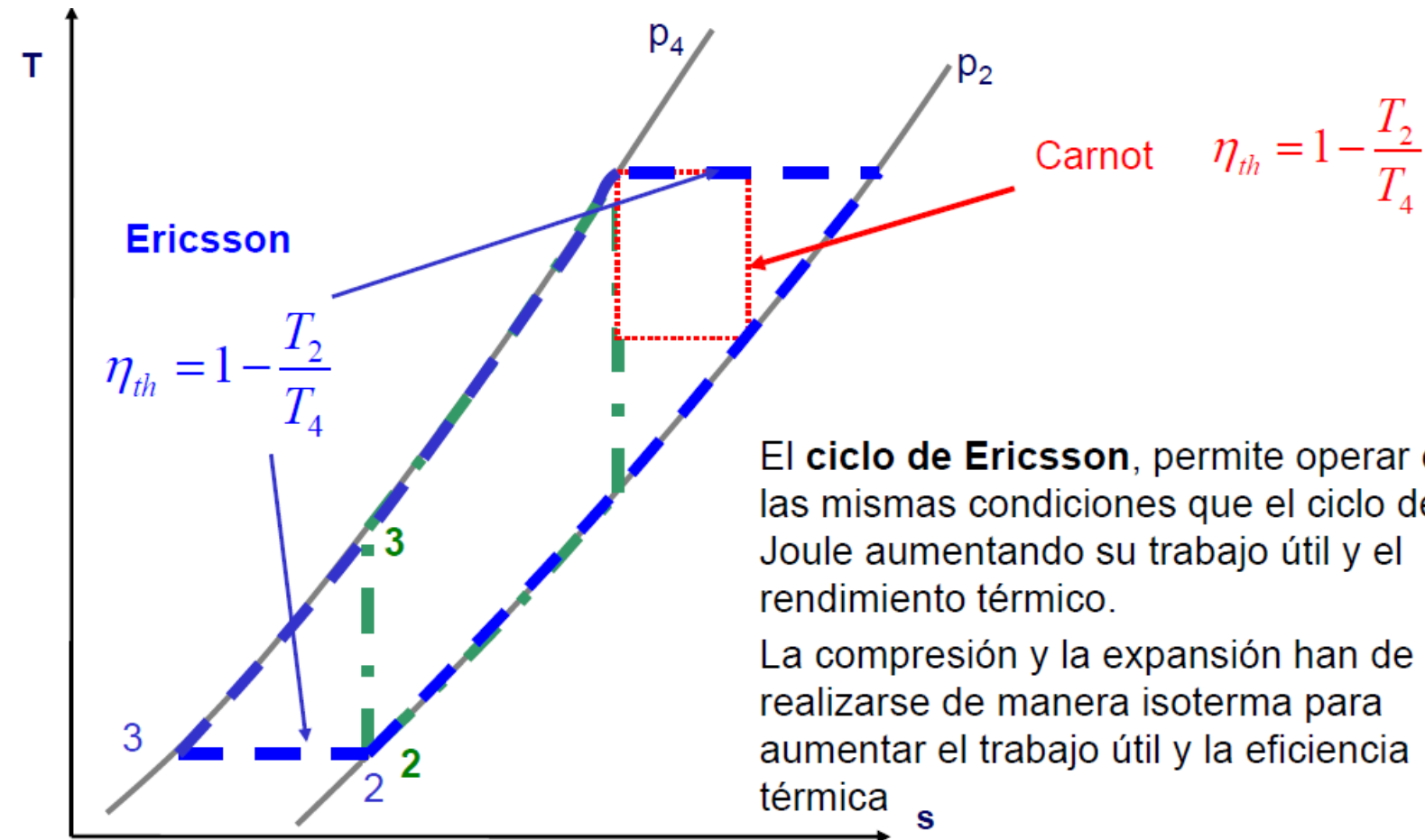
Recuperar calor de los gases de escape (**Regeneración**)

Aumento del trabajo útil aproximándose al ciclo Ericsson

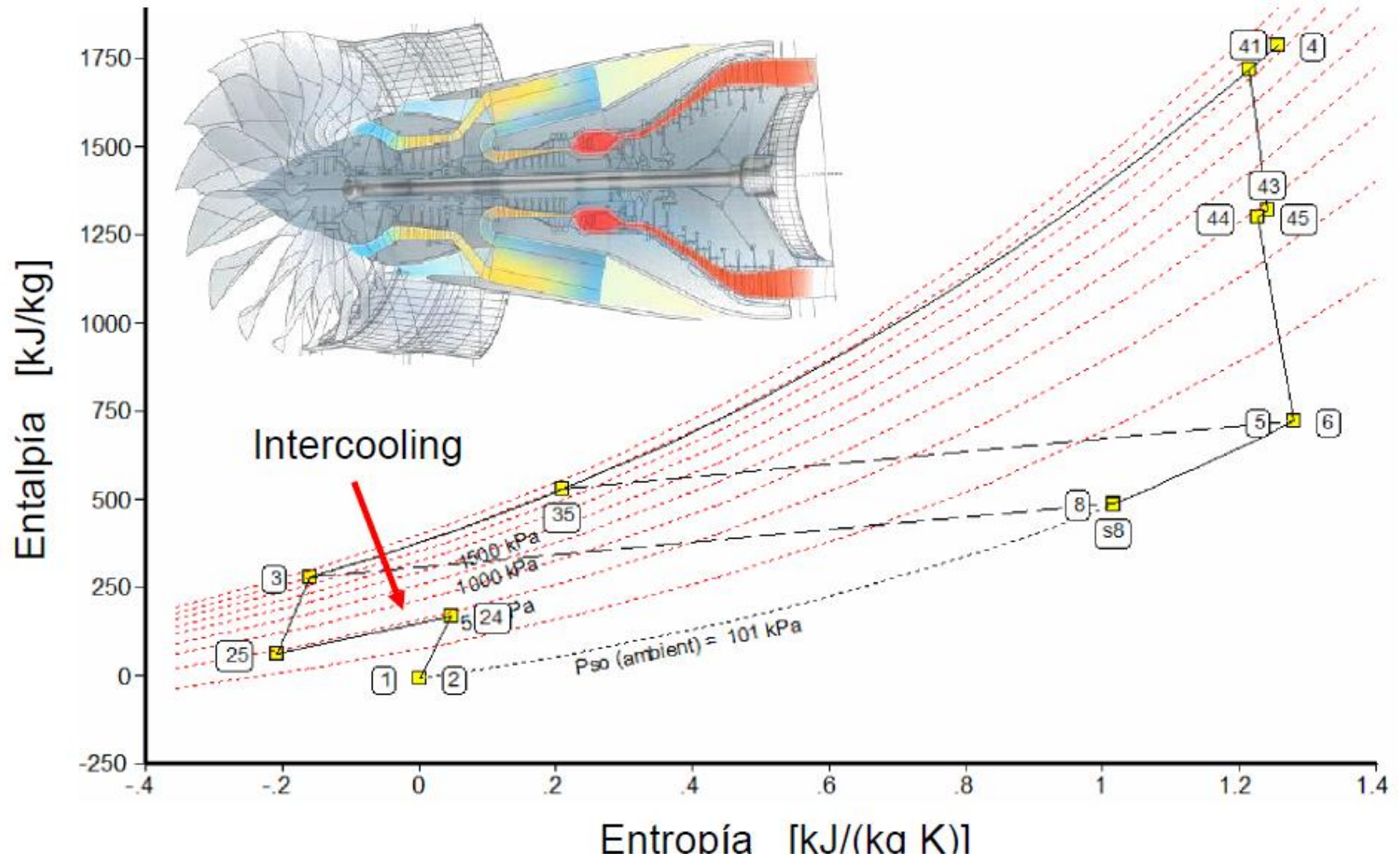


Recuperar calor de los gases de escape (**Regeneración**)

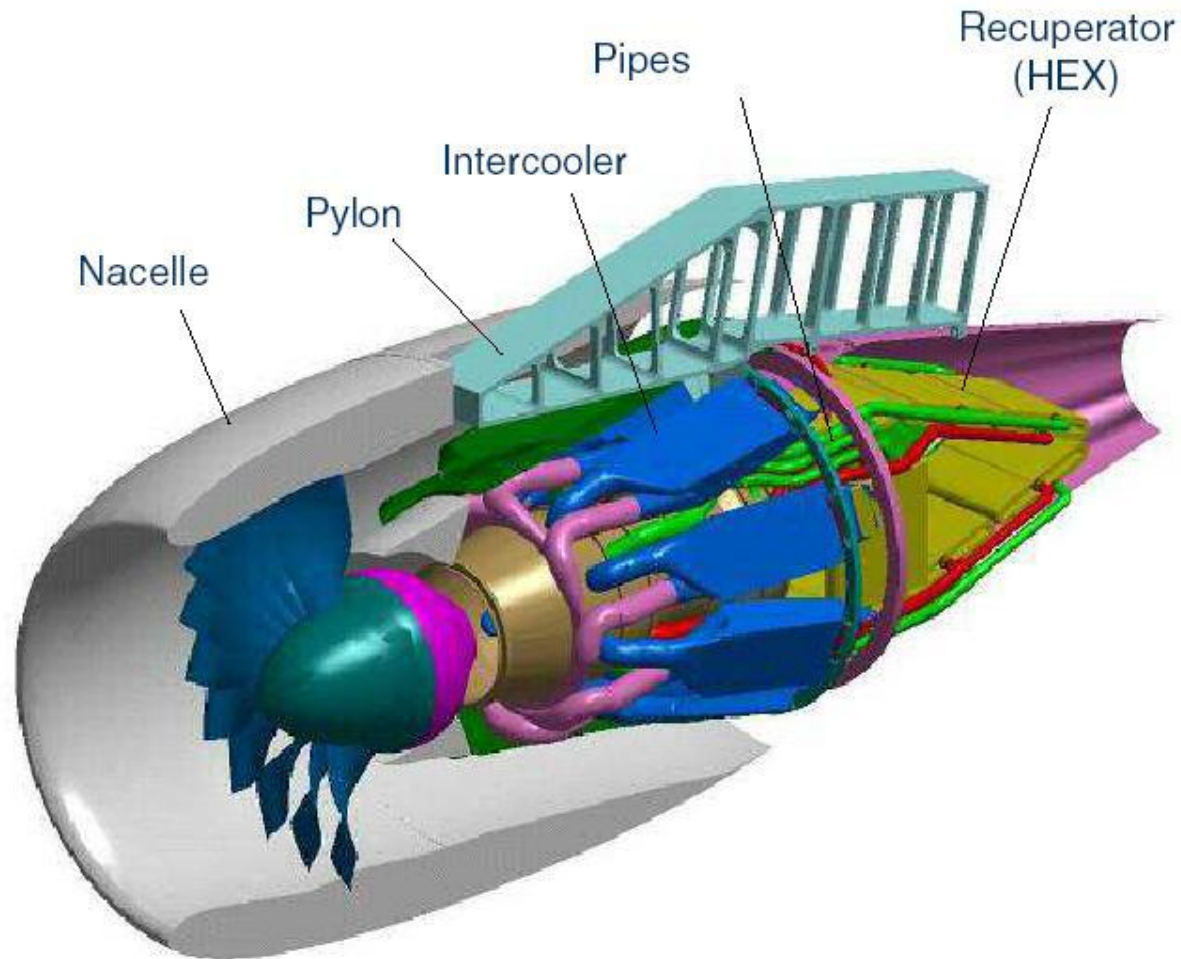
Aumento del trabajo útil aproximándose al ciclo Ericsson



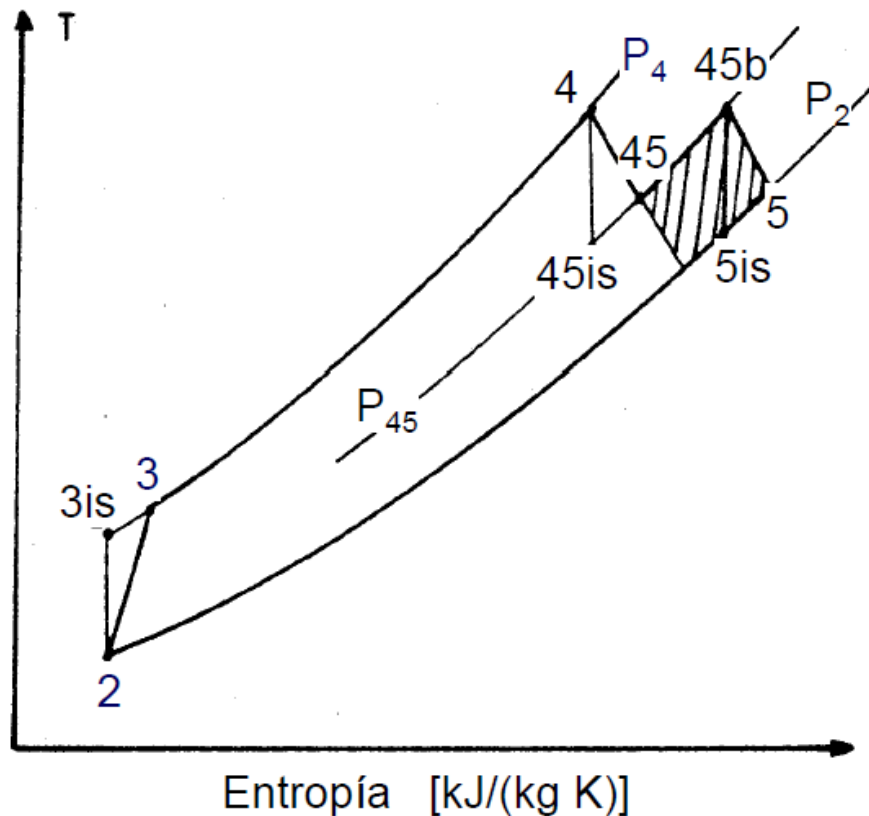
## Intercooling, aproximación al ciclo Ericsson



Recuperar calor de los gases de escape (**Regeneración**)



## Recalentamiento, aproximación al ciclo Ericsson



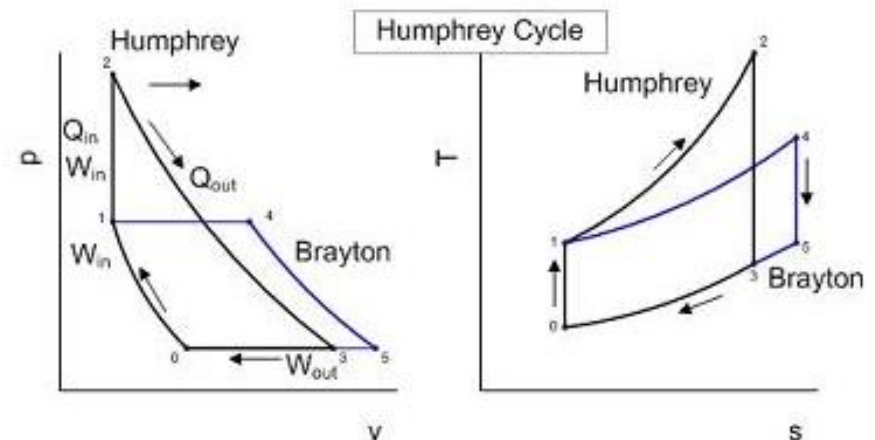
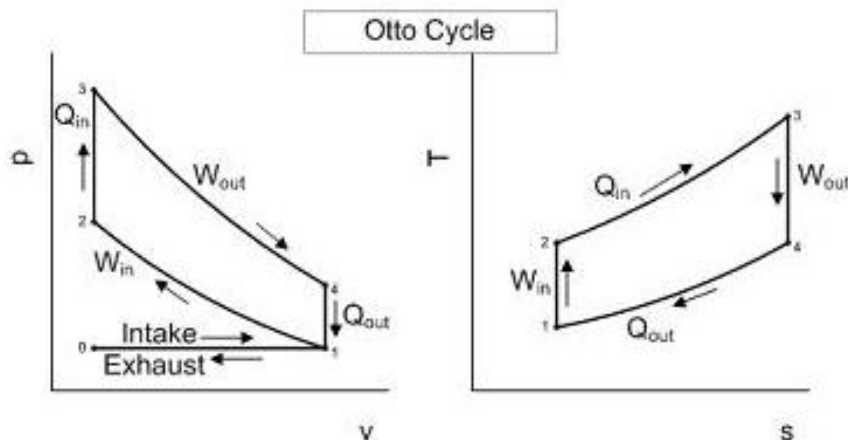
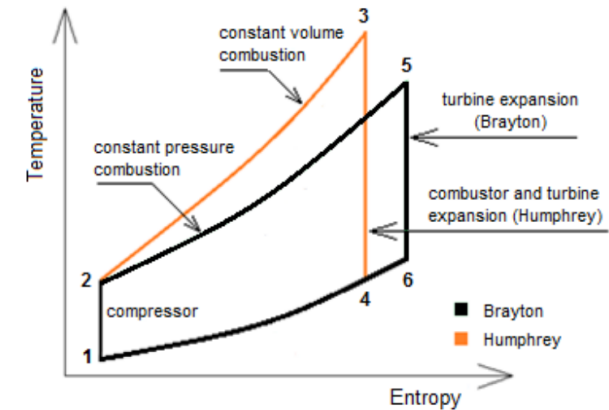
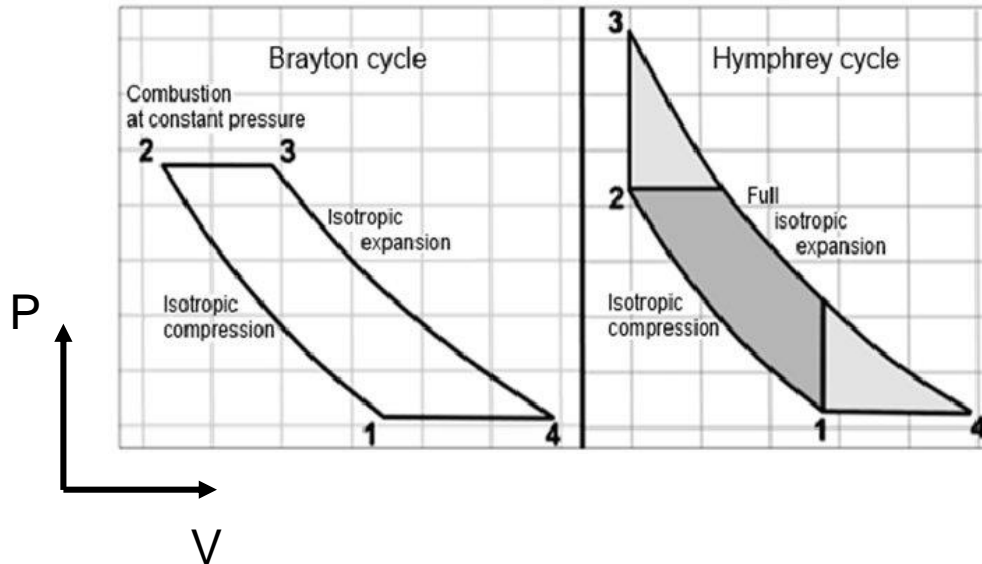
Aumenta más el trabajo específico que el empleo del intercooling, debido a la divergencia de las isobaras. Se realiza entre etapas de expansión en la turbina, por lo que no puede superarse la temperatura límite de los materiales

Motores Aero-derivados para la producción de energía eléctrica están basados en ciclos compuestos. Utilizan regeneración, intercooling y recalentamiento.



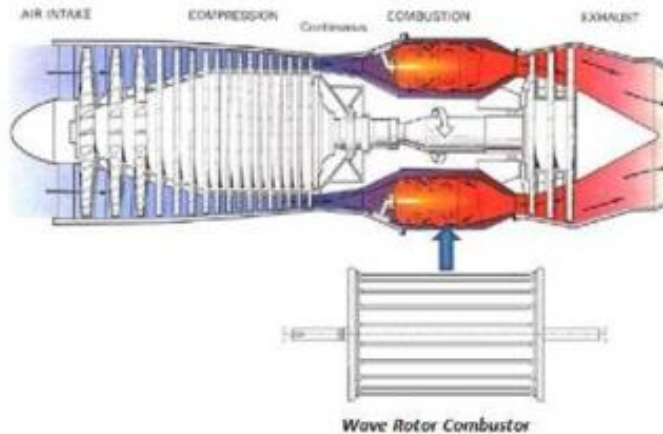
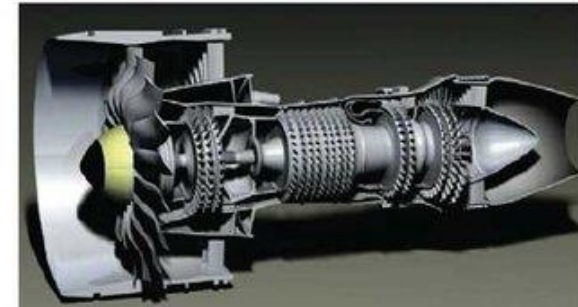
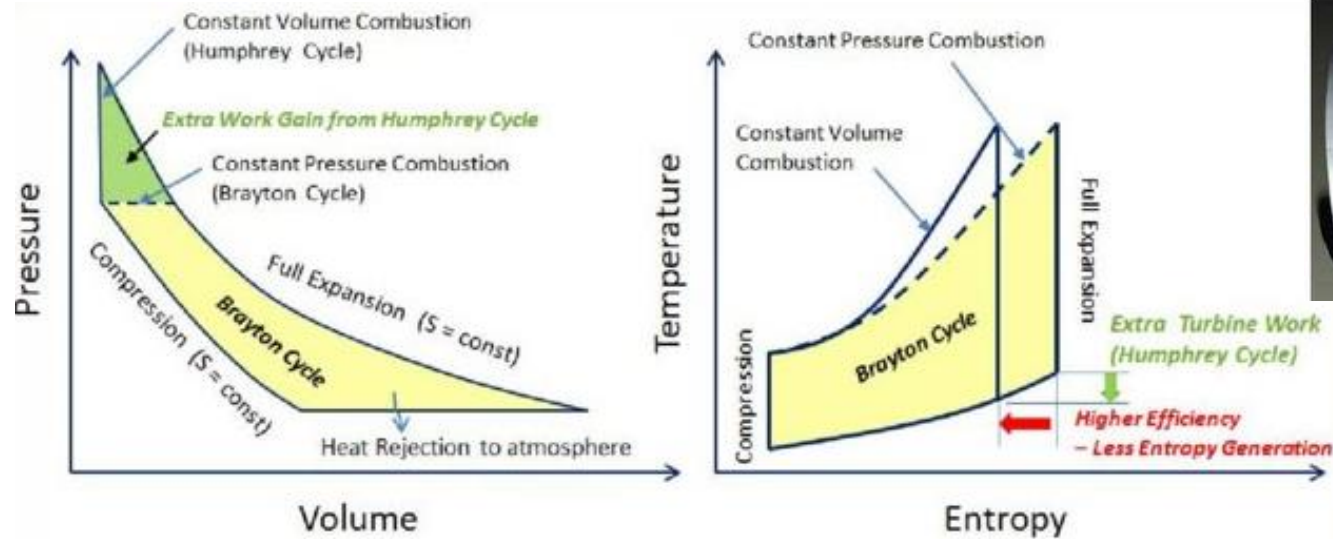
## Humphrey cycle

Combinación del ciclo de detonación y el ciclo Brayton



## Humphrey cycle

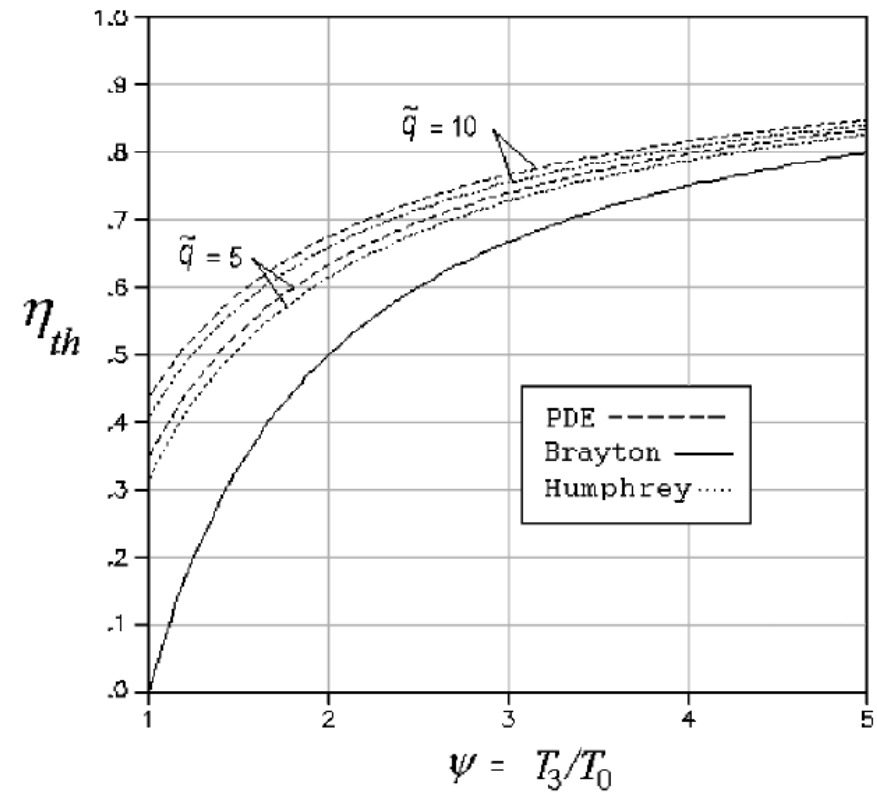
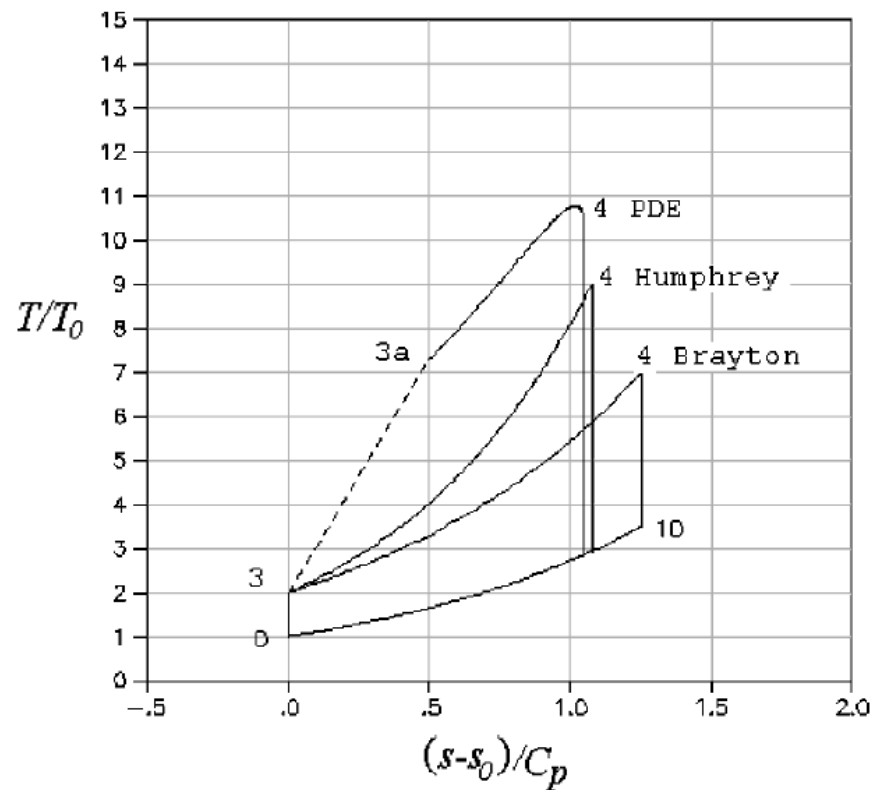
Combinación del ciclo de detonación y el ciclo Brayton





## Humphrey cycle

Combinación del ciclo de detonación y el ciclo Brayton



# Contenidos

1. Diseño preliminar
2. Ciclo Joule y ciclo de detonación
3. Ciclo Joule ideal
4. Ciclo Joule real
5. Ciclo de detonación ideal
6. Ciclo de detonación real
7. Mejoras al ciclo Joule o al ciclo de detonación



- “Elements of propulsion gas turbine and rockets turbine propulsion” Jack D. Mattingly, Tema 2, 5, 7
- "Gas turbine theory". Cohen, Rogers & Saravanamuttoo. Prentice Hall. Tema 1, 2, 3
- “Aircraft Propulsion”, Saeed Farokhi, Wiley, Tema 4

# Problema 2.1- Ciclo Simple Monoaje

## IDEAL

$$W_u = 1 \text{ MW}, \eta_c = 82\%, \eta_T = 90\%$$

$$\pi_c = 20, \dot{m}_a = 2 \text{ kg/s},$$

Expansión completa en turbina

$$P_0 = P_2$$

$$P_2 = P_5$$

$$P_0 = 1 \text{ bar} = 101325 \text{ Pa}$$

$$T_0 = 298 \text{ K}$$

$$c_p = 1004.5 \text{ J/kgK}$$

$$c_{p_c} = 1004.5 \text{ J/kgK}, c_{p_h} = 1400.5 \text{ J/kgK}$$

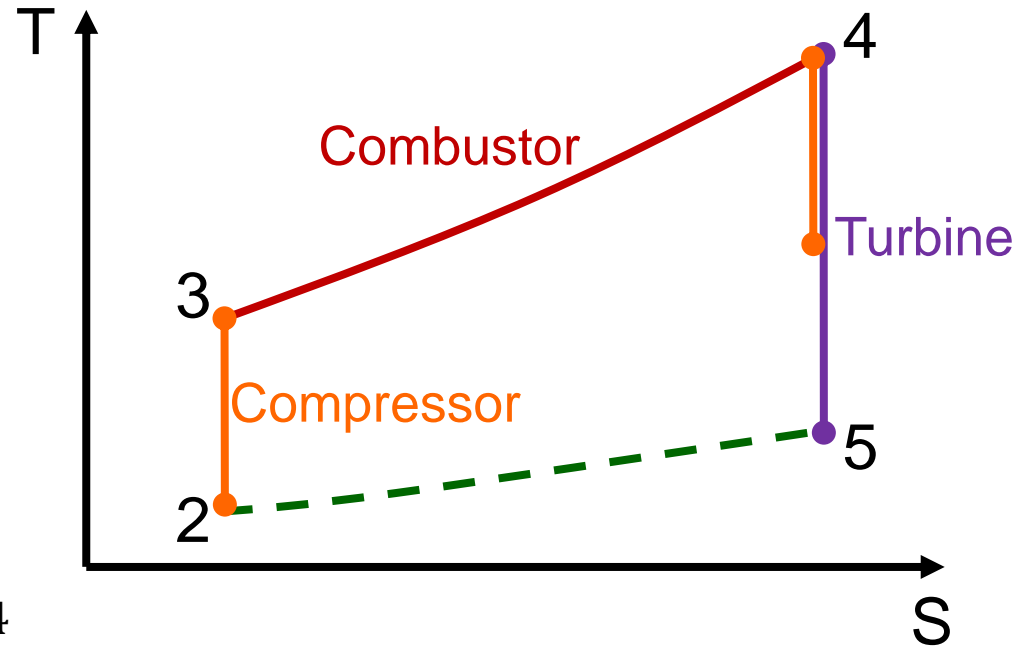
$$P_3 = \pi_c P_2 = 20 \text{ bar} \quad \gamma = \frac{c_p}{c_p - R} = 1.4$$

$$T_3 = T_2 \left( \frac{P_3}{P_2} \right)^{\frac{\gamma-1}{\gamma}} = 701.4 \text{ K}$$

$$\Delta h_c = c_p (T_3 - T_2) = 4.05 \frac{10^5 \text{ J}}{\text{kgK}} * K = 4.05 \frac{10^5 \text{ J}}{\text{kg}} = 4.05 \times 10^5 \frac{\text{m}^2}{\text{s}^2}$$

$$\Delta h_u = \frac{W_u}{\dot{m}_a} = \frac{1000000}{2} = 5 \times 10^5 \frac{\text{m}^2}{\text{s}^2} \quad \Delta h_t = \Delta h_c + \Delta h_u = 9.05 \times 10^5 \frac{\text{m}^2}{\text{s}^2}$$

$$\Delta h_t = c_p (T_4 - T_5) \quad T_5 = T_4 \left( \frac{P_5}{P_4} \right)^{\frac{\gamma-1}{\gamma}} = T_4 \left( \frac{1}{\pi_c} \right)^{\frac{\gamma-1}{\gamma}} \quad T_4 = \frac{T_5}{\left( \frac{1}{\pi_c} \right)^{\frac{\gamma-1}{\gamma}}}$$



# IDEAL

$$T_3 = T_2 \left( \frac{P_3}{P_2} \right)^{\frac{\gamma-1}{\gamma}} = 701.4 \text{ K}$$

$$\Delta h_c = c_p(T_3 - T_2) = 4.05 \frac{x10^5 J}{kgK} * K = 4.05 \frac{x10^5 J}{kg} = 4.05 x 10^5 \frac{m^2}{s^2}$$

$$\Delta h_u = \frac{W_u}{\dot{m}_a} = \frac{1000000}{2} = 5 x 10^5 \frac{m^2}{s^2} \quad \Delta h_t = \Delta h_c + \Delta h_u = 9.05 x 10^5 \frac{m^2}{s^2}$$

$$\Delta h_t = c_p(T_4 - T_5) \quad T_5 = T_4 \left( \frac{P_5}{P_4} \right)^{\frac{\gamma-1}{\gamma}} = T_4 \left( \frac{1}{\pi_c} \right)^{\frac{\gamma-1}{\gamma}} \quad T_4 = \frac{T_5}{\left( \frac{1}{\pi_c} \right)^{\frac{\gamma-1}{\gamma}}}$$

$$9.05 x 10^5 = c_p \left( T_4 - T_4 \left( \frac{1}{\pi_c} \right)^{\frac{\gamma-1}{\gamma}} \right)$$

$$T_4 = \frac{9.05 x 10^5}{c_p \left( 1 - \left( \frac{1}{\pi_c} \right)^{\frac{\gamma-1}{\gamma}} \right)} = 1566 \text{ K}$$

$$T_5 = 1566 \left( \frac{1}{\pi_c} \right)^{\frac{\gamma-1}{\gamma}} = 1566 \left( \frac{1}{20} \right)^{\frac{0.4}{1.4}} = 665 \text{ K}$$

# Problema 2.1- Ciclo Simple Monoaje

REAL

$$W_u = 1 \text{ MW}, \eta_C = 82\%, \eta_T = 90\%$$

$$\pi_c = 20, \dot{m}_a = 2 \text{ kg/s},$$

Expansión completa en turbina

$$P_0 = P_2$$

$$P_2 = P_5$$

$$P_0 = 1 \text{ bar} = 101325 \text{ Pa}$$

$$T_0 = 298 \text{ K}$$

$$c_p = 1004.5 \text{ J/kgK}$$

$$c_{p_c} = 1004.5 \text{ J/kgK}, c_{p_h} = 1400.5 \text{ J/kgK}$$

$$P_3 = \pi_c P_2 = 20 \text{ bar} \quad \gamma = \frac{c_p}{c_p - R} = 1.4$$

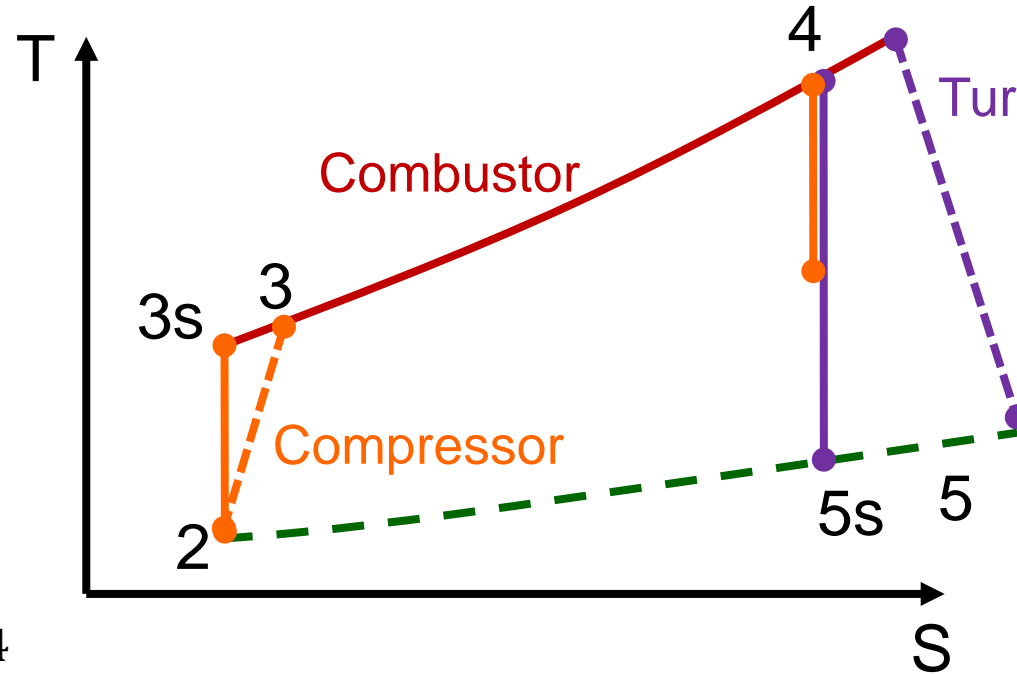
$$T_{3s} = T_2 \left( \frac{P_3}{P_2} \right)^{\frac{\gamma-1}{\gamma}} = 701.4 \text{ K} \quad \eta_C = \frac{T_{3s} - T_2}{T_3 - T_2}$$

$$T_3 = T_2 + \frac{(T_{3s} - T_2)}{\eta_C} = 298 + \frac{403}{0.82} = 789.9 \text{ K}$$

$$\Delta h_c = c_p(T_3 - T_2) = 1004.5 * (798.9 - 298) = 4.94 \times 10^5 \frac{\text{m}^2}{\text{s}^2}$$

$$\Delta h_u = \frac{W_u}{\dot{m}_a} = \frac{1000000}{2} = 5 \times 10^5 \frac{\text{m}^2}{\text{s}^2} \quad \Delta h_t = \Delta h_c + \Delta h_u = 9.94 \times 10^5 \frac{\text{m}^2}{\text{s}^2}$$

$$\Delta h_t = c_p(T_4 - T_5) \quad T_5 = T_4 \left( \frac{P_5}{P_4} \right)^{\frac{\gamma-1}{\gamma}} = T_4 \left( \frac{1}{\pi_c} \right)^{\frac{\gamma-1}{\gamma}} \quad T_4 = \frac{T_5}{\left( \frac{1}{\pi_c} \right)^{\frac{\gamma-1}{\gamma}}}$$



# Problema 2.1- Ciclo Simple Monoeje

REAL

$$P_3 = \pi_c P_2 = 20 \text{ bar} \quad \gamma = \frac{c_p}{c_p - R} = 1.4$$

$$T_{3s} = T_2 \left( \frac{P_3}{P_2} \right)^{\frac{\gamma-1}{\gamma}} = 701.4 \text{ K} \quad \eta_c = \frac{T_{3s} - T_2}{T_3 - T_2} \quad T_3 = T_2 + \frac{(T_{3s} - T_2)}{\eta_c} = 298 + \frac{403}{0.82} = 789.9 \text{ K}$$

$$\Delta h_c = c_p (T_3 - T_2) = 1004.5 * (798.9 - 298) = 5 \times 10^5 \frac{\text{m}^2}{\text{s}^2}$$

$$\Delta h_u = \frac{W_u}{\dot{m}_a} = \frac{1000000}{2} = 5 \times 10^5 \frac{\text{m}^2}{\text{s}^2} \quad \Delta h_t = \Delta h_c + \Delta h_u = 9.94 \times 10^5 \frac{\text{m}^2}{\text{s}^2}$$

$$\Delta h_t = c_p (T_4 - T_5) \quad T_{5s} = T_4 \left( \frac{P_5}{P_4} \right)^{\frac{\gamma-1}{\gamma}} = T_4 \left( \frac{1}{\pi_c} \right)^{\frac{\gamma-1}{\gamma}}$$

$$\eta_t = \frac{T_4 - T_5}{T_4 - T_{5s}} ; T_5 = T_4 - \eta_t (T_4 - T_{5s}) = T_4 - \eta_t \left( T_4 - T_4 \left( \frac{1}{\pi_c} \right)^{\frac{\gamma-1}{\gamma}} \right) = T_4 \left( 1 - \eta_t \left[ 1 - \left( \frac{1}{\pi_c} \right)^{\frac{\gamma-1}{\gamma}} \right] \right)$$

$$\Delta h_t = c_p \left( T_4 - T_4 \left( 1 - \eta_t \left[ 1 - \left( \frac{1}{\pi_c} \right)^{\frac{\gamma-1}{\gamma}} \right] \right) \right) = c_p T_4 \left( 1 - \left( 1 - \eta_t \left[ 1 - \left( \frac{1}{\pi_c} \right)^{\frac{\gamma-1}{\gamma}} \right] \right) \right)$$

$$T_4 = \frac{\Delta h_t}{c_p \left( 1 - \left( 1 - \eta_t \left[ 1 - \left( \frac{1}{\pi_c} \right)^{\frac{\gamma-1}{\gamma}} \right] \right) \right)} = \frac{9.94 \times 10^5}{1004.5 \left( 1 - \left( 1 - 0.9 \left[ 1 - \left( \frac{1}{20} \right)^{\frac{0.4}{1.4}} \right] \right) \right)} = 1912 \text{ K}$$

$$\text{V1} \rightarrow \Delta h_t = c_p (T_4 - T_5) ; T_5 = T_4 - \frac{\Delta h_t}{c_p} = 922 \text{ K}$$

$$\text{V2} \rightarrow T_{5s} = T_4 \left( \frac{P_5}{P_4} \right)^{\frac{\gamma-1}{\gamma}} = 812 \text{ K} ; T_5 = T_4 - \eta_t (T_4 - T_{5s}) = 922 \text{ K}$$

# Problema 2.1- Ciclo Simple Monoeje

## REAL-Cp variable

$$P_3 = \pi_c P_2 = 20 \text{ bar} \quad \gamma_c = \frac{c_{p_c}}{c_{p_c} - R} = 1.4 \quad \gamma_h = \frac{c_{p_h}}{c_{p_h} - R} = 1.26$$

$$T_{3s} = T_2 \left( \frac{P_3}{P_2} \right)^{\frac{\gamma_c - 1}{\gamma_c}} = 701.4 \text{ K} \quad \eta_c = \frac{T_{3s} - T_2}{T_3 - T_2} \quad T_3 = T_2 + \frac{(T_{3s} - T_2)}{\eta_c} = 298 + \frac{403}{0.82} = 789.9 \text{ K}$$

$$\Delta h_c = c_{p_c} (T_3 - T_2) = 1004.5 * (798.9 - 298) = 5 \times 10^5 \frac{\text{m}^2}{\text{s}^2}$$

$$\Delta h_u = \frac{W_u}{\dot{m}_a} = \frac{1000000}{2} = 5 \times 10^5 \frac{\text{m}^2}{\text{s}^2} \quad \Delta h_t = \Delta h_c + \Delta h_u = 9.94 \times 10^5 \frac{\text{m}^2}{\text{s}^2}$$

$$\Delta h_t = c_{p_h} (T_4 - T_5) \quad T_{5s} = T_4 \left( \frac{P_5}{P_4} \right)^{\frac{\gamma_h - 1}{\gamma_h}} = T_4 \left( \frac{1}{\pi_c} \right)^{\frac{\gamma_h - 1}{\gamma_h}}$$

$$\eta_t = \frac{T_4 - T_5}{T_4 - T_{5s}} ; T_5 = T_4 - \eta_t (T_4 - T_{5s}) = T_4 - \eta_t \left( T_4 - T_4 \left( \frac{1}{\pi_c} \right)^{\frac{\gamma_h - 1}{\gamma_h}} \right) = T_4 \left( 1 - \eta_t \left[ 1 - \left( \frac{1}{\pi_c} \right)^{\frac{\gamma_h - 1}{\gamma_h}} \right] \right)$$

$$\Delta h_t = c_{p_h} \left( T_4 - T_4 \left( 1 - \eta_t \left[ 1 - \left( \frac{1}{\pi_c} \right)^{\frac{\gamma_h - 1}{\gamma_h}} \right] \right) \right) = c_{p_h} T_4 \left( 1 - \left( 1 - \eta_t \left[ 1 - \left( \frac{1}{\pi_c} \right)^{\frac{\gamma_h - 1}{\gamma_h}} \right] \right) \right)$$

$$T_4 = \frac{\Delta h_t}{c_{p_h} \left( 1 - \left( 1 - \eta_t \left[ 1 - \left( \frac{1}{\pi_c} \right)^{\frac{\gamma_h - 1}{\gamma_h}} \right] \right) \right)} = \frac{9.94 \times 10^5}{1400.5 \left( 1 - \left( 1 - 0.9 \left[ 1 - \left( \frac{1}{20} \right)^{\frac{0.26}{1.26}} \right] \right) \right)} = 1720 \text{ K}$$

$$\text{V1} \rightarrow \Delta h_t = c_p (T_4 - T_5) ; T_5 = T_4 - \frac{\Delta h_t}{c_p} = 1009 \text{ K}$$

$$\text{V2} \rightarrow T_{5s} = T_4 \left( \frac{P_5}{P_4} \right)^{\frac{\gamma - 1}{\gamma}} = 930 \text{ K} ; T_5 = T_4 - \eta_t (T_4 - T_{5s}) = 1009 \text{ K}$$



Air isobaric heat capacity,  $C_p$   
 at varying pressure

